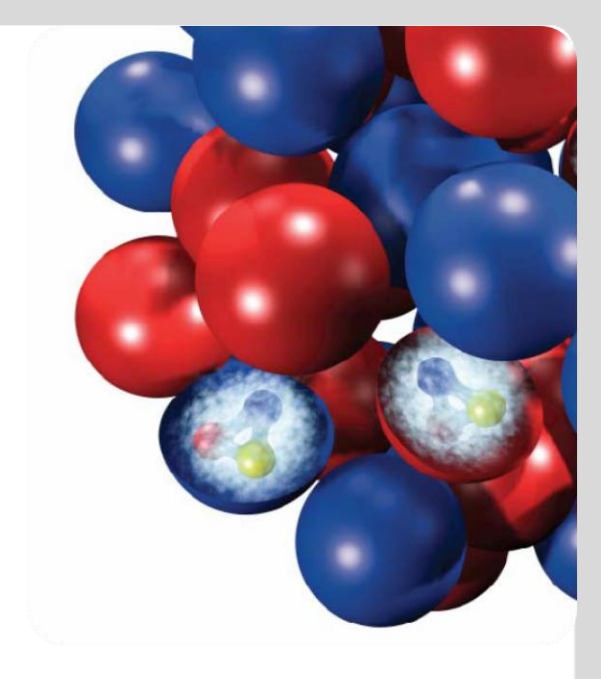


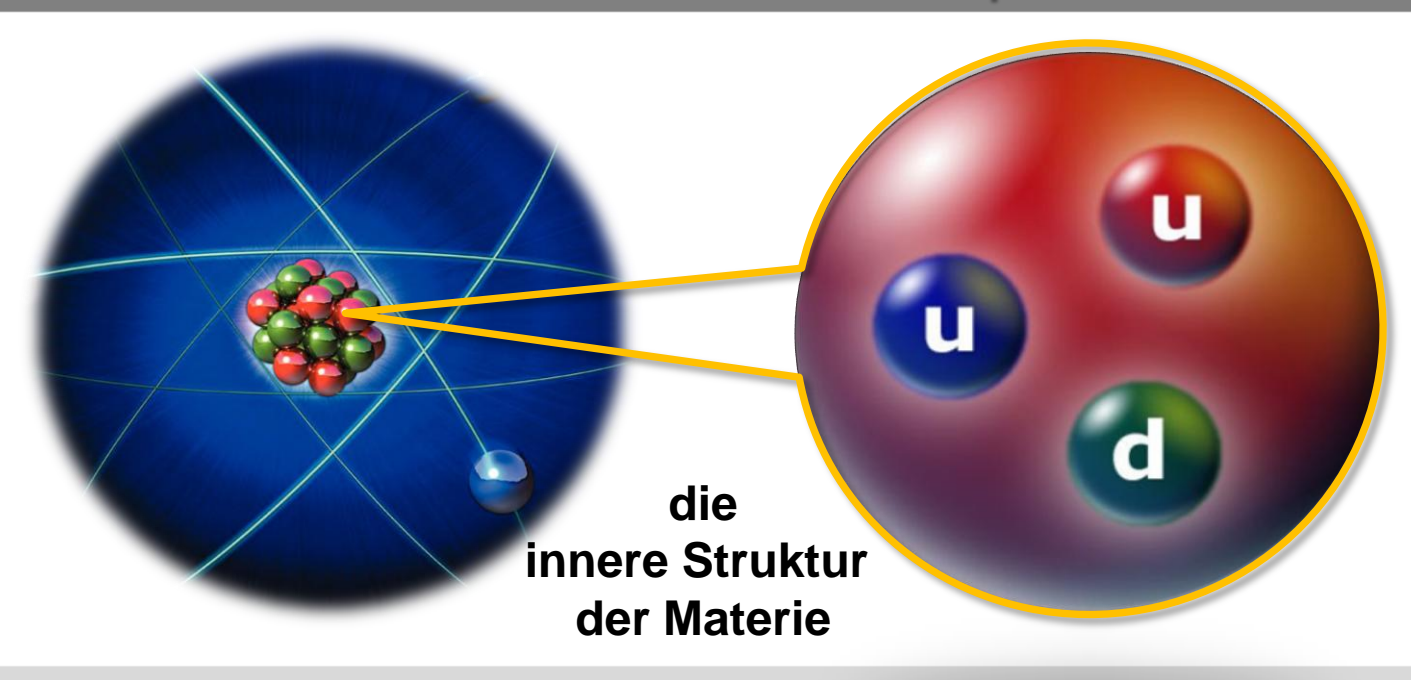
Kerne und Teilchen

Physik VI Sommersemester 2010



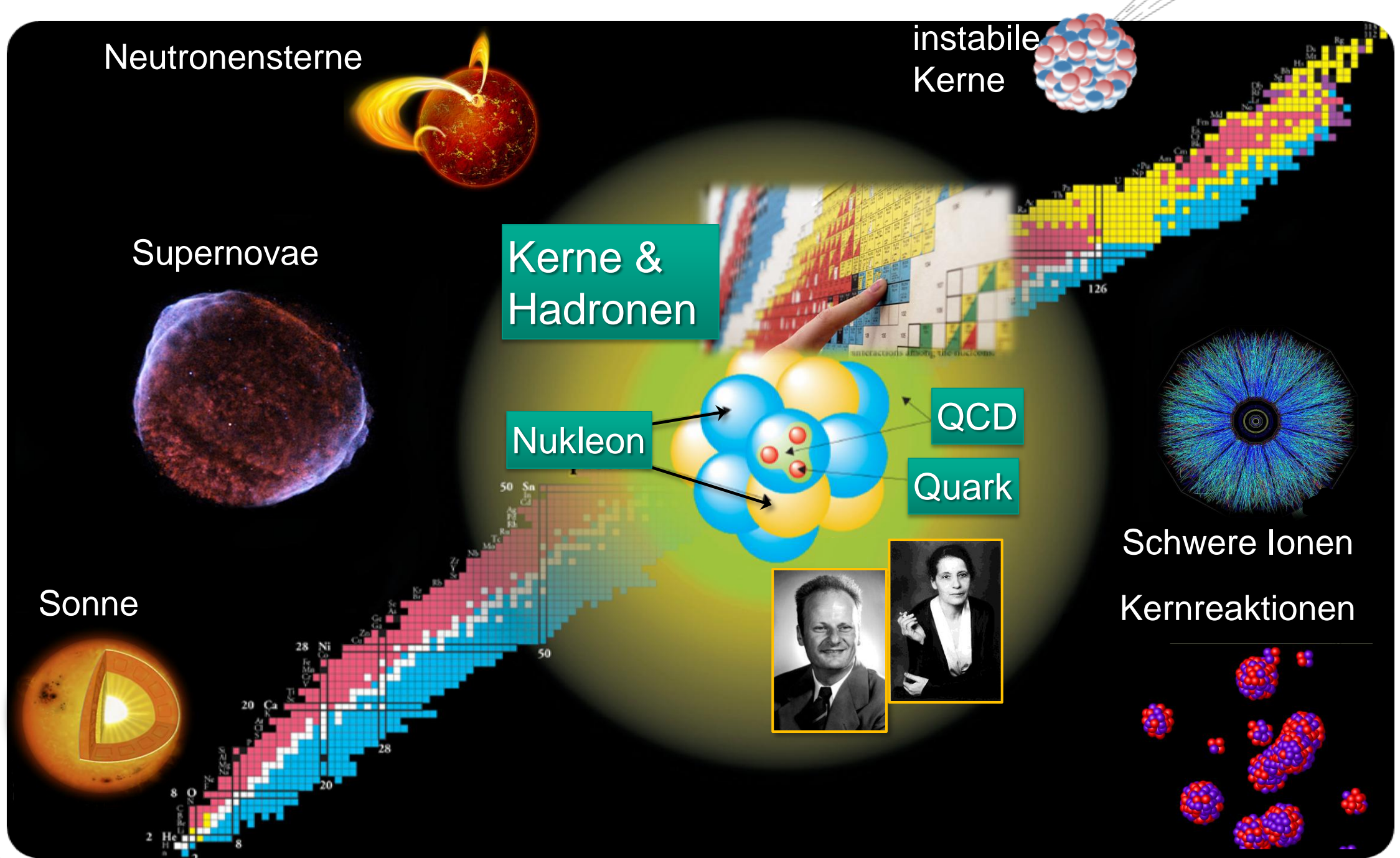
Guido Drexlin, Institut für Experimentelle Kernphysik

http://www-ik.fzk.de/~drexlin/



moderne Kernphysik - Übersicht

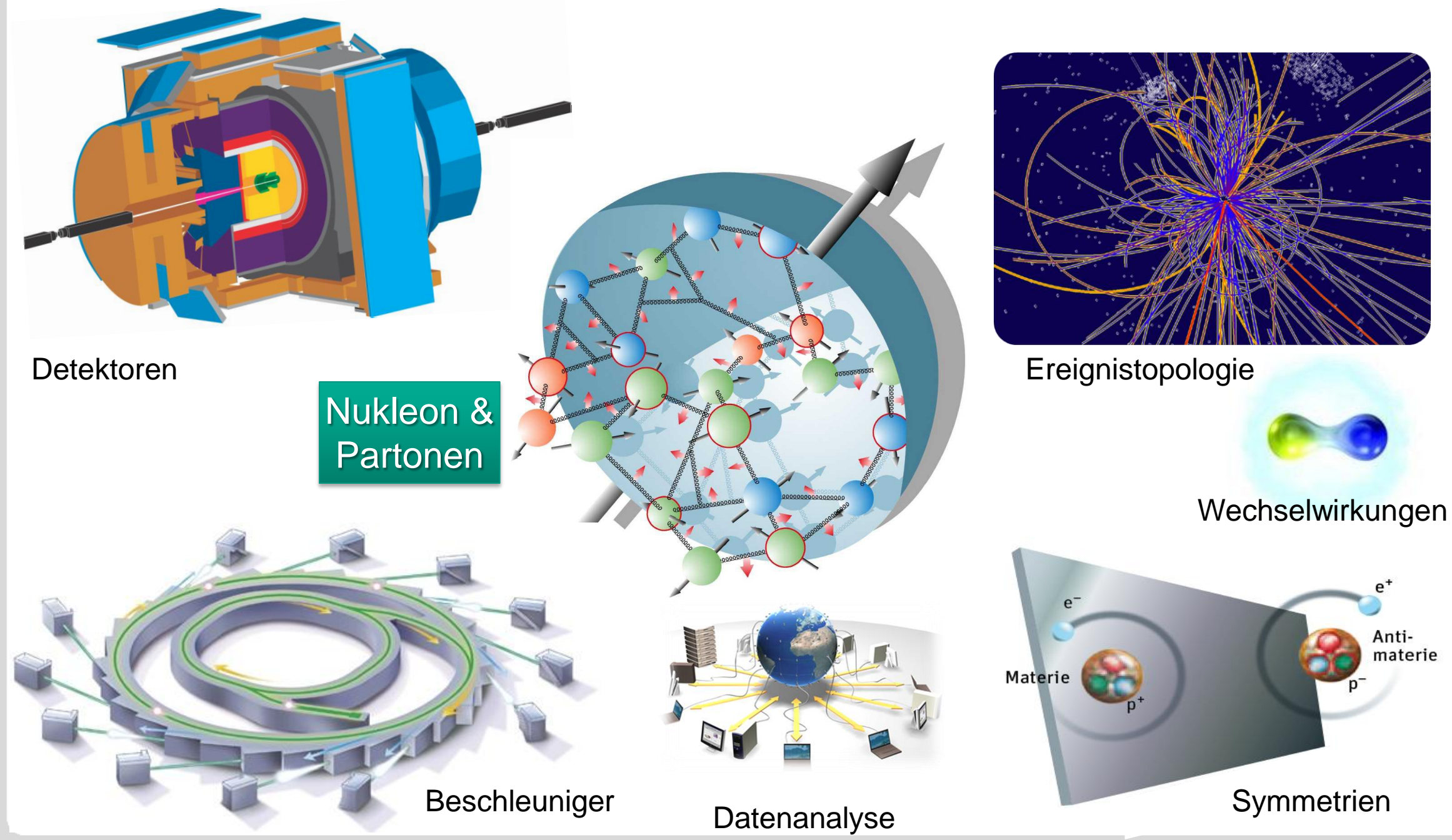
13.4.2010



G. Drexlin – VL01 KIT-IEKP

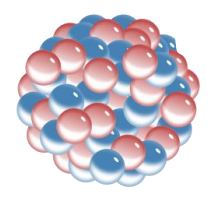
moderne Teilchenphysik – Übersicht







| 1. | Einführung |
|-----|---|
| 2. | Eigenschaften stabiler Kerne |
| 2.1 | Rutherford-Streuung & Wirkungsquerschnitt |
| 2.2 | Kernradien & Formfaktoren |
| 2.3 | Kernmodelle & Kernkräfte |
| | - Tröpfchen- & Fermigasmodell |
| | |



2.4 Kernreaktionen & Kernfusion

- Kernkräfte

- Schalenmodell





3. Nukleonen

3.1 Aufbau & Wechselwirkung

3.2 Strukturfunktionen





- 4. Instabile Kerne
- 4.1 radioaktiver Zerfall
- 4.2 α -Zerfall
- 4.3 ß-Zerfall
- 4.4 γ-Zerfall
- 4.5 Kernspaltung
- 5. Elementarteilchen-Phänomenologie
- 5.1 Einführung

5

- 5.2 Hadronen & Leptonen
- 5.3 Wechselwirkungen im Standardmodell
 - starke Wechselwirkung
 - elektroschwache Wechselwirkung (Weinberg-Salam-Glashow)



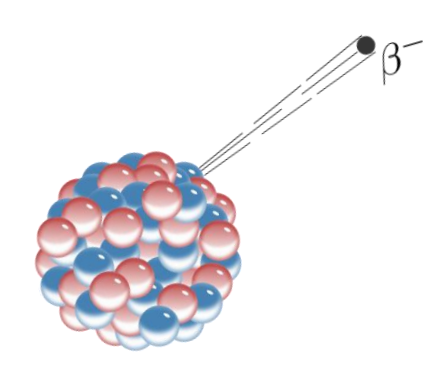
KIT-IEKP

| 6. | Beschleuniger & Detektoren |
|-----|--|
| 6.1 | Wechselwirkung von Strahlung mit Materie |
| 6.2 | Beschleunigertypen |
| 6.3 | Moderne Teilchendetektoren |
| | - MWPCs & Driftkammern |
| | - Szintillatoren, Fibres & Cherenkovdetektoren |
| | elektromagnetische & hadronische Kalorimeter |
| 7. | Quarkmodell der Hadronen |
| 7.1 | Struktur des Teilchenzoos |
| 7.2 | schwere Quarks - Quarkonia |
| 7.3 | hadronische Wechselwirkungen, QCD |
| 8. | Symmetrien |
| 8.1 | klassische Erhaltungsgrößen |
| 8.2 | Parität, Ladungskonjugation & Zeitumkehr (CPT) |
| 8.3 | Supersymmetrie |

13.4.2010 G. Drexlin – VL01



| 9. | Schwache Wechselwirkung |
|------|--|
| 9.1 | Klassifikation schwacher Prozesse |
| 9.2 | Paritätsverletzung |
| 9.3 | Strom-Strom Kopplung |
| 10. | Kaonen & Neutrinos |
| 10.1 | Oszillation neutraler Kaonen & CP-Verletzung |
| 10.1 | Neutrinoquellen & -strahlen |
| 10.2 | Neutrino-Oszillationen |
| 10.3 | Neutrino-Ruhemasse & Doppelbetazerfall |
| 11. | Querverbindungen & Ausblick |
| 11.1 | Kern-, Teilchen- und Astroteilchenphysik |
| 11.2 | offene Fragen & neue Projekte |
| | |





Physik VI - Übungen



Übungen zu Physik VI

15 Übungsgruppen (Gruppen #1-15) am Donnerstag Nachmittag

1-5: 14:00-15:30, 6-10: 15:45-17:15, 11-15: 17:30-19:00 Zeiten:

Orte: Seminarräume (s. separate Einteilungsblätter)

Aufgabenblätter via: pdf-file auf homepage / KIT-email Liste

Ubungen: (Teil-)Aufgaben sollten vorgerechnet werden können

Leitung der Übungen:

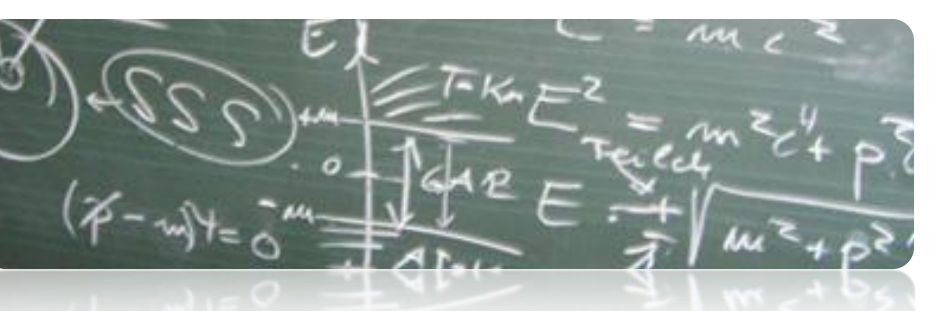
Thomas Thümmler (thomas.thuemmler@kit.edu), Tel: 07247/82-4018

Joachim Wolf (joachim.wolf@kit.edu), Tel: 07247/82-5532

Termine: 22.4 / 29.4. / 6.5. / 20.5. / 27.5. / 10.6. / 17.6. / 24.6. /

1.7. / 8.7. / 15.7. Scheinvergabe







Physik VI - Übungen



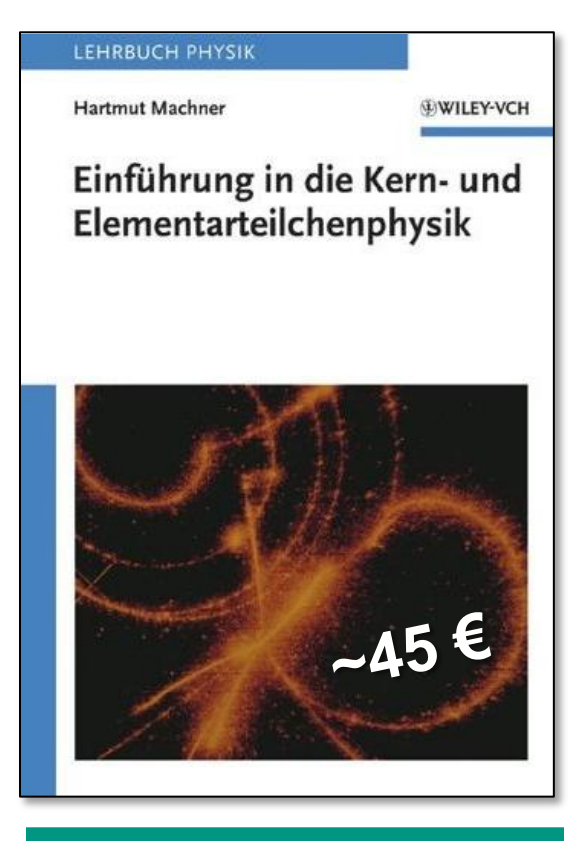
| SIT | KIT MailingLists Service Mailinglisten-Übersicht Hauptseite Hilfe |
|--|--|
| E-Mail Adresse : Passwort : | ktp-ss2010@lists.kit.edu KTP - Physik VI Vorlesung - Drexlin - news letter |
| Anmelden Erste Anmeldung ? | News Letter der Vorlesung Physik VI (Kern und Teilchenphysik KTP) von Prof. Drexlin im Sommersemester 2010. Allgemeine Informationen und Übungsaufgaben werden u.A. hierüber verteilt. |
| Passwort vergessen? | § |
| Abonnenten: 2 Eigentümer joachim.wolf2 thomas.thuemmler Kontaktiere Inhaber | https://www.lists.kit.edu/sympa/info/ktp-ss201 |
| Abonnieren Abmelden Info Archiv | |
| Senden RSS Gemeinsame Dokumente | |
| Language selection Deutsch | |
| | Impressum Powered by Sympa 5.4.7 |

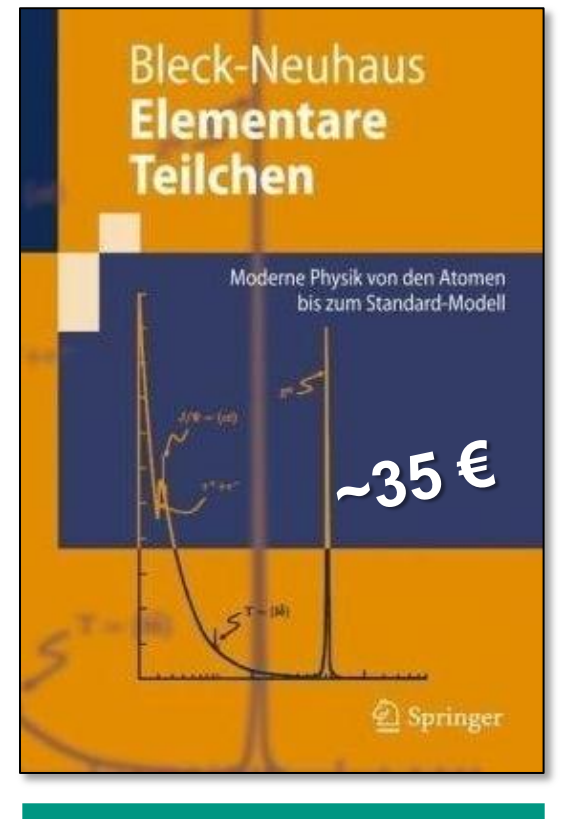
Bücher zur Kern- und Teilchenphysik











Claude Amsler

Kern- & Teilchenphysik

UTB Verlag (1. Aufl., 2007)

"Die Welt der elementaren

Bausteine der Materie,

Orientierung an Experi-

menten, histor. geordnet"

Bogdan Povh et al.

Teilchen und Kerne

Springer (8. Aufl., 2009)

"Einheitliche Darstellung

der Kern- & Teilchen-

physik aus experimenteller

Sicht, zahlreiche Aufgaben"

Hartmut Machner

Einführung in die Kern- &

Elementarteilchenphysik

Wiley-VCH (1. Aufl., 2005)

"Einführung in theor. Grund-

lagen und experimentelle

Methoden, Parallelen KTP"

Jörn Bleck-Neuhaus

Elementare Teilchen

Springer (1. Aufl., 3/2010)

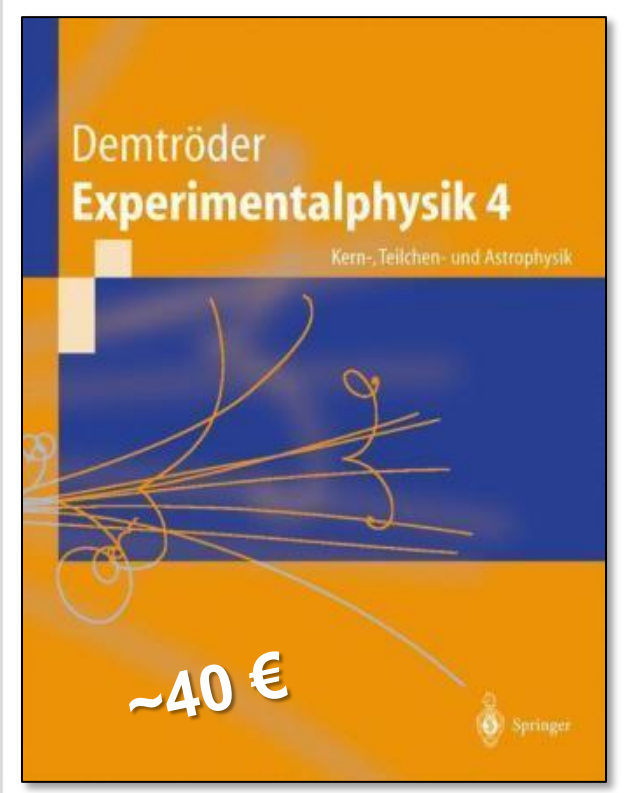
"Suche nach den letzten

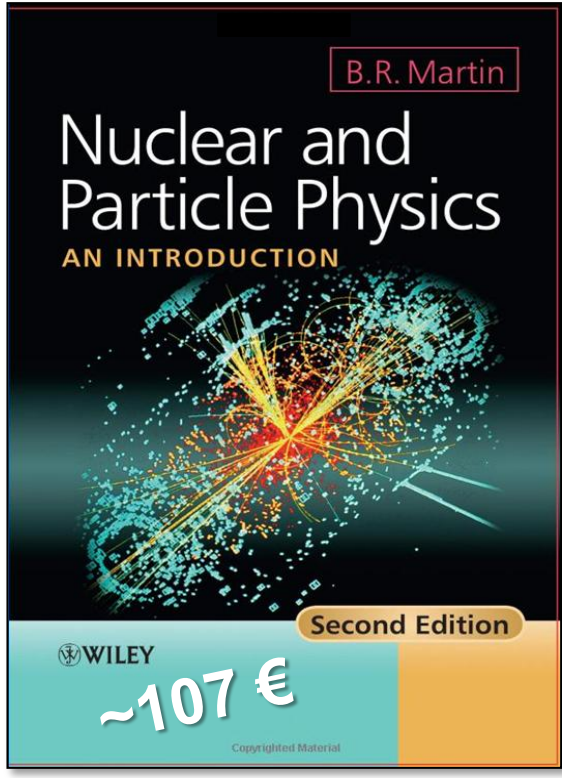
Bausteinen der Materie

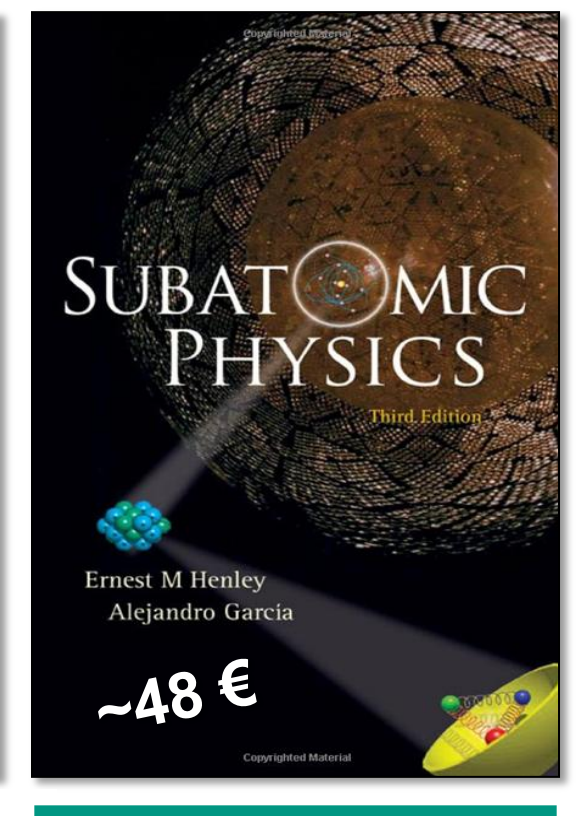
mit Mitteln der Modernen

Physik"

Bücher zur Kern- und Teilchenphysik









Wolfgang Demtröder

Experimental physik 4

Kern-, Teilchen- & Astrophy.

Springer (3. Aufl., 11/2009)

"4. Band der Reihe über die

Experimentalphysik, umfass.

Neubearbeitung der Themen"

Brian R. Martin

Nuclear & Particle Physics

Wiley (2. Aufl., April 2009)
"standard topics of nuclear
& particle physics, basic
concepts and theory with
current & future applications"

Ernest M. Henley

Subatomic Physics

World Scientific (3. ed.,

"fully updated ed. of the

Classic textbook, up-to-

date introduction to both

theory & experiment"

Gerhard Musiol et al.

Kern- und Elementar-

teilchenphysik, Verlag

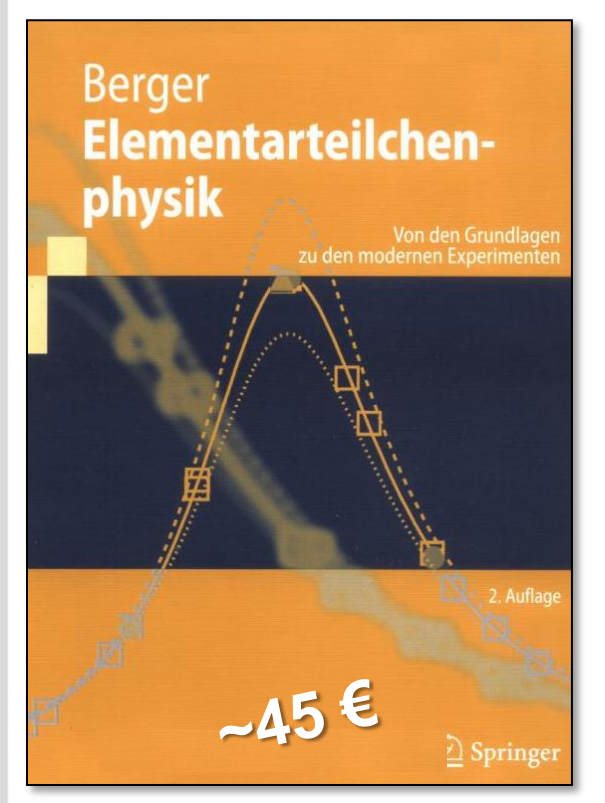
Harri Deutsch, (1995)

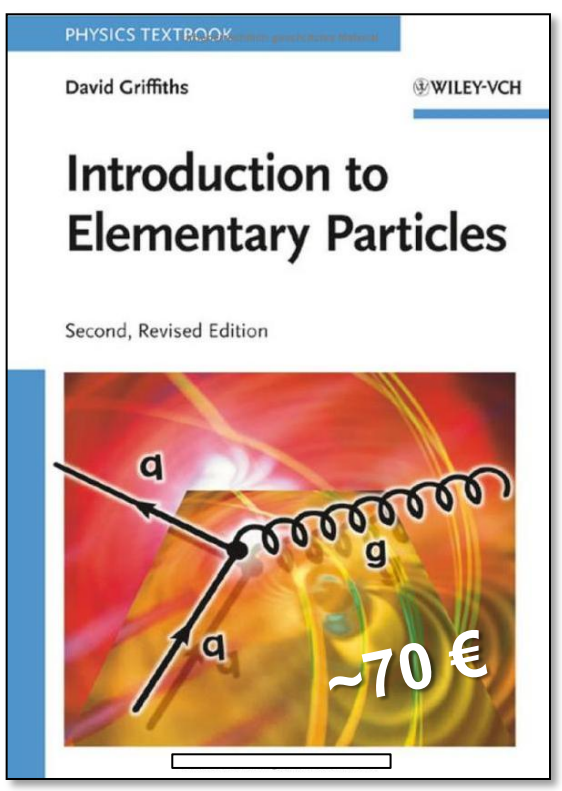
"zusammenfassende

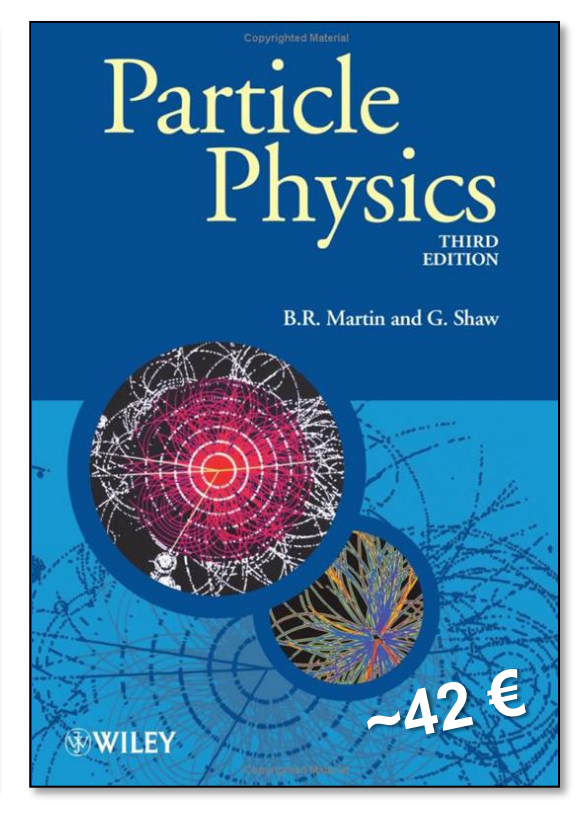
Darstellung der beiden

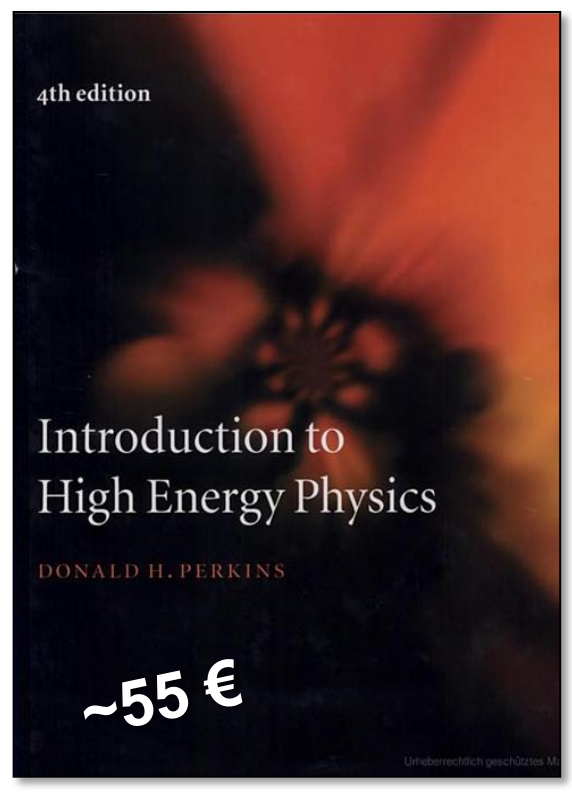
Teilgebiete"

Bücher zur Teilchenphysik









Christoph Berger

Elementarteilchenphysik

Springer (2. Aufl., 2006)
"Systematische Einführung
von den Grundlagen zu
modernen Experimenten,
88 Übungen mit Lösungen"

12

David Griffiths

Introduction to Elementary

Particles, Wiley (2. ed. 2008)
"balancing intuitive understanding & mathematical,
rigor, emphasizing particle
theory, many exercises"

B.R. Martin, G.P. Shaw

Particle Physics

Wiley (3. Auflage. 12/2008) "an introduction to particle physics, emphasizing the foundations of the SM in experimental data"

Donald H. Perkins

Introduction to High

Energy Physics, Cam-

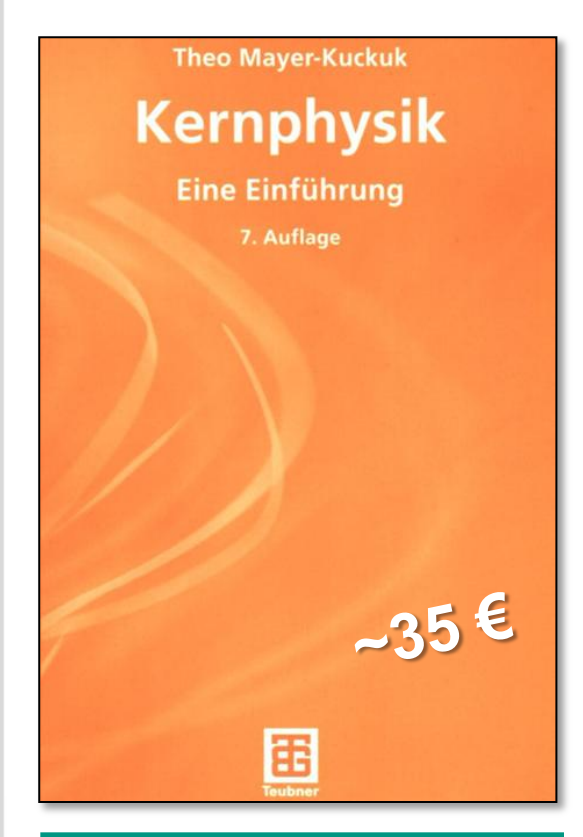
Bridge Univ. (4. Aufl., 2000)

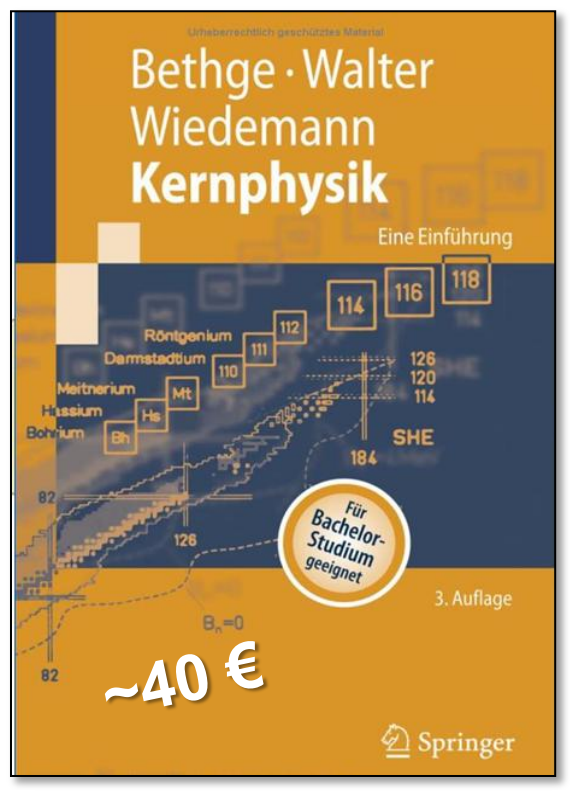
"Introduction to modern

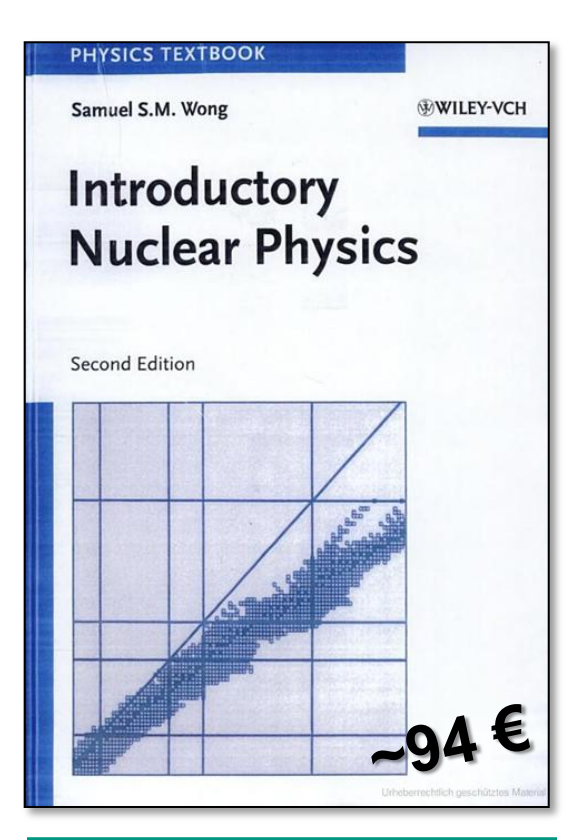
particle physics, connects

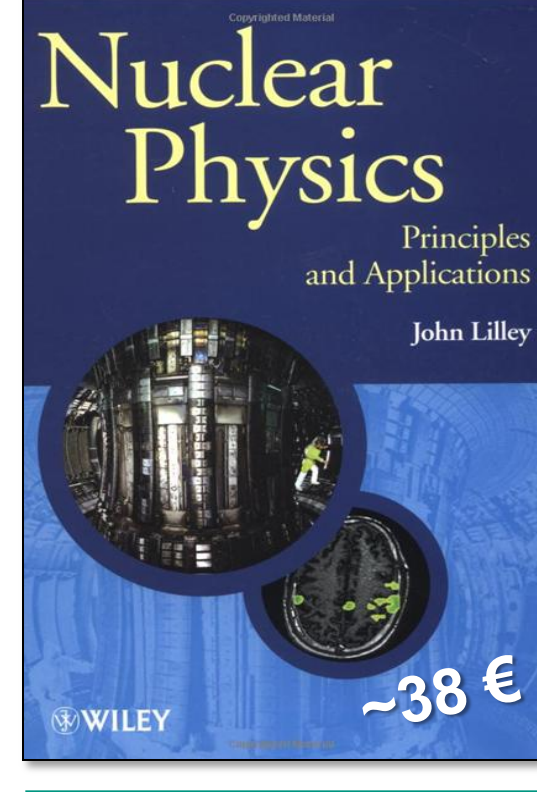
to cosmology & astrophys."

Bücher zur Kernphysik









Theo Mayer-Kuckuck

Kernphysik

Teubner (7. Aufl., 2002)
"Grundlagen zum Gegenstand der Kernphysik:
etablierte Erscheinungen &
moderne Perspektiven"

Klaus Bethge et al.

Kernphysik

Springer (3. akt. Aufl., 2007)
"Überblick über theoret. &
experimentelle Grundlagen
Kernphysik. Methoden
mit zahlreichen Übungen"

Samuel S.M. Wong

Introductory Nuclear

Physics Wiley-VCH (2.Ed., 1998, "comprehensive introduction to nuclear physics, with coverage of modern topics"

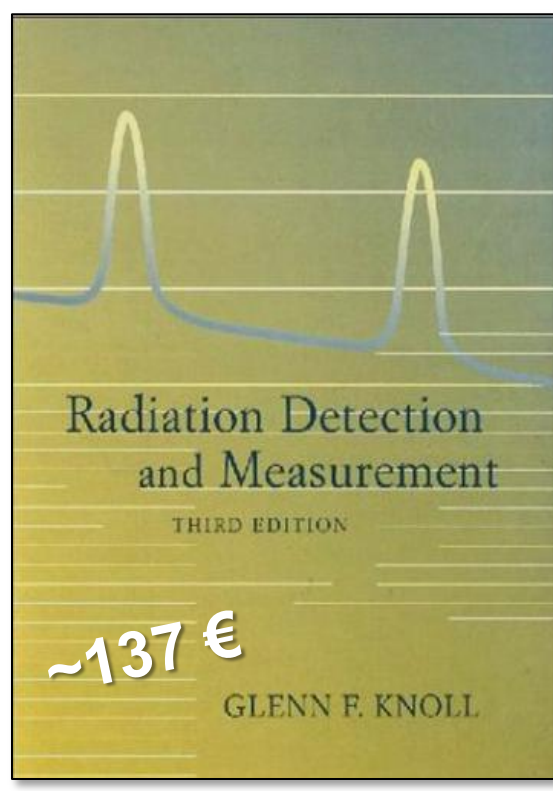
John S. Lilley

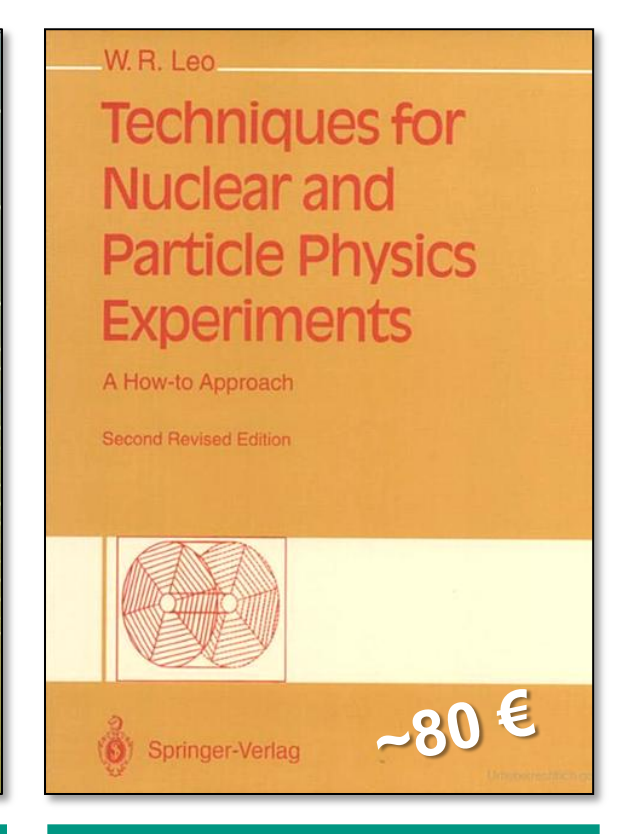
Nuclear Physics -

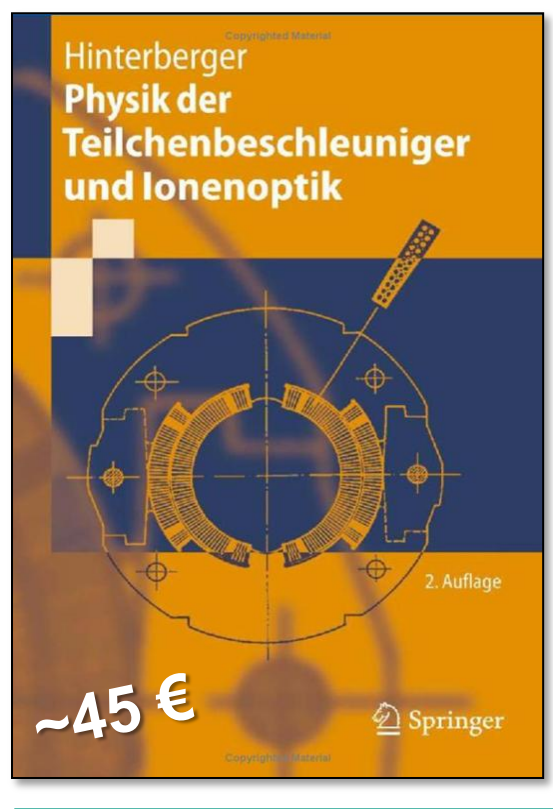
Principles & Applications
Wiley & sons, repr. 2006
"Kernphysik vom Standpunkt des Experimentators, Anwendungen "

Bücher zu Detektoren & experimentellen Techniken









Konrad Kleinknecht

Detektoren für TeilchenStrahlung, Teubner Verl.

4. Auflage (2005) " Überblick über den Aufbau &
die Funktionsweise von
Teilchendetektoren"

Glenn F. Knoll

Radiation Detection and
Measurement, Wiley (3.
Ed., 2000) "most compreh.
reference on methods &
instrumentation in the
detection of ionis. radiation"

William R. Leo

& Particle Physics Exp.

Springer Verl.(2. Ed. 1994)

"experim. techniques &

instrumentation in nuclear

& particle physics expts."

Techniques for Nuclear

Frank Hinterberger

Physik der TeilchenbeSchleuniger & Ionenoptik
Springer Verl.(2. Aufl. 2008)
"Beschleunigertypen und
Bauelemente, Ionenoptik
mit magnet. Elementen"

Kern- & Teilchenphysik: Fachartikel





8 Apr 2009: Added public author identifiers, Facebook interaction, myarticles widget, 31 Mar 2009: Quantum Gases (cond-mat.quant-gas) subject area added See cumulative "What's New" pages.

Robots Beware: indiscriminate automated downloads from this site are not permitted.

Physics

- Astrophysics (astro-ph new, recent, find) includes: Cosmology and Extragalactic Astrophysics; Earth and Planetary Astrophysics;
- Condensed Matter (cond-mat new, recent, find) includes: Disordered Systems and Neural Networks; Materials Science; Mesoscale
- General Relativity and Quantum Cosmology (gr-qc new, recent, find)
- High Energy Physics Experiment (hep-ex new, recent, find)
- High Energy Physics Lattice (hep-lat new, recent, find)
- High Energy Physics Phenomenology (hep-ph new, recent, find)
- High Energy Physics Theory (hep-th new, recent, find)
- Mathematical Physics (math-ph new, recent, find)
- Nuclear Experiment (nucl-ex new, recent, find)
- Nuclear Theory (nucl-th new, recent, find)
- Physics (physics new, recent, find) includes: Accelerator Physics; Atmospheric and Oceanic Physics; Atomic Physics; General Physics; Geophysics; History of Physics; Instrumentation and Detectors;
- Quantum Physics (quant-ph new, recent, find)

preprints in:

hep-ex, nucl-ex (Experiment) hep-ph (Phänomenologie) nucl-th (Kernphysik-Theorie)

referierte Fachartikel

- Phys. Rev. C, D
- Phys. Rev. Letters
- J. Phys. G (Nucl. & Part.)
- Phys. Lett. B
- Astroparticle Physics

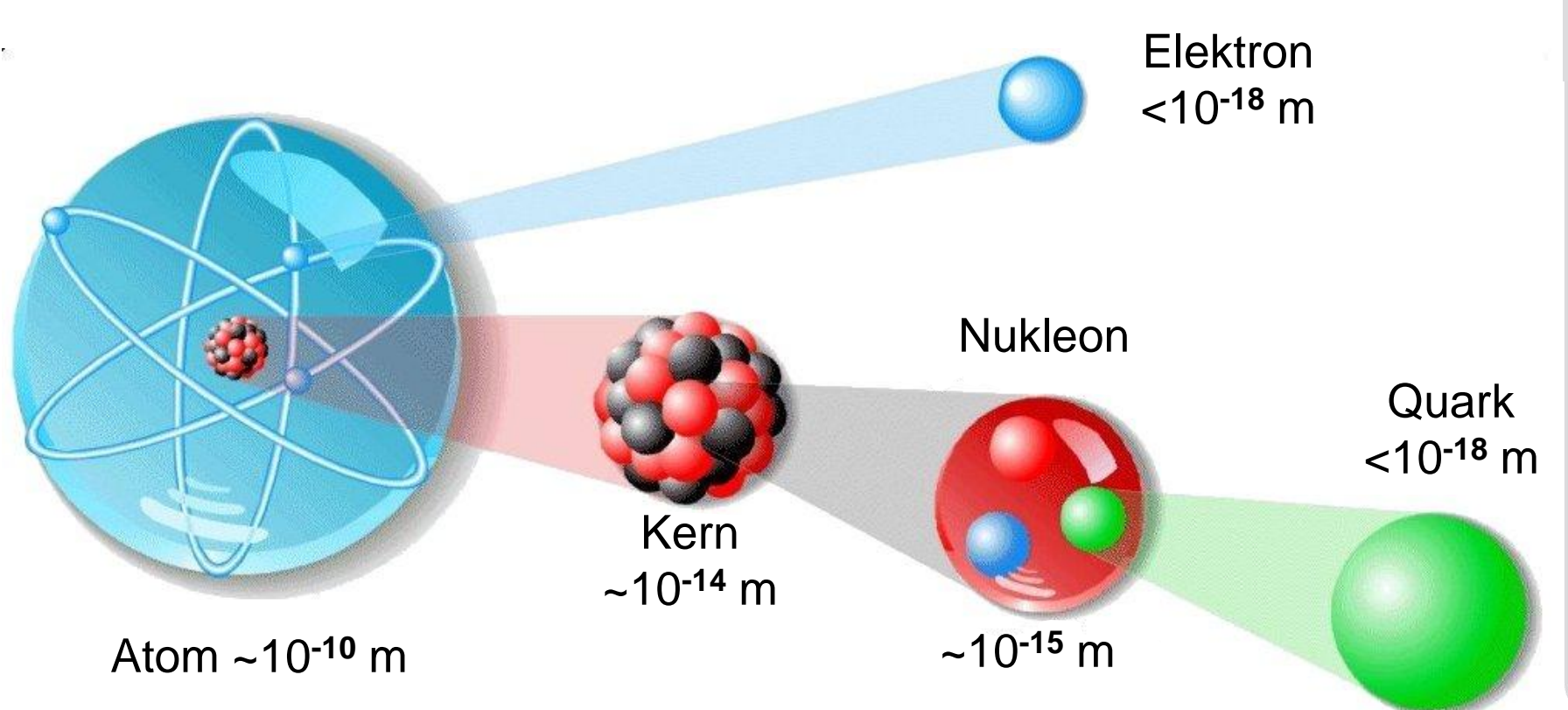
1. Einführung

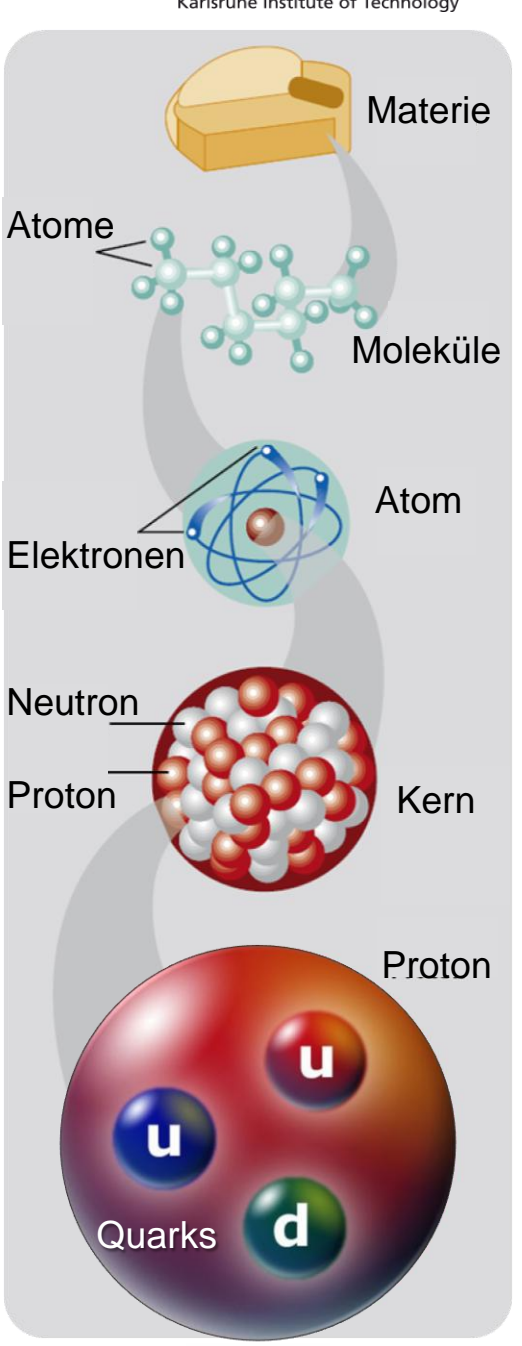


Größenskalen in der Atom-, Kern- & Teilchenphysik

Kern-/Teilchenphysik: typische Längenskala ~10⁻¹⁵ m [fm]

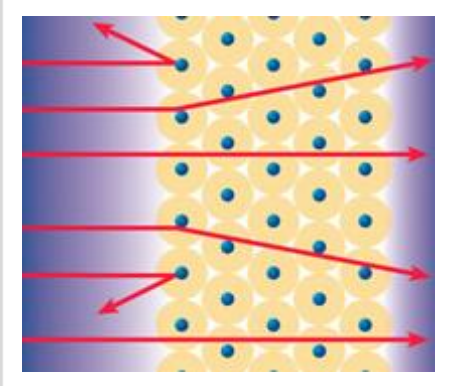
- Suche nach den elementaren Bausteinen der Materie
- reduktionistisches Prinzip: wenige fundamentale Gesetze



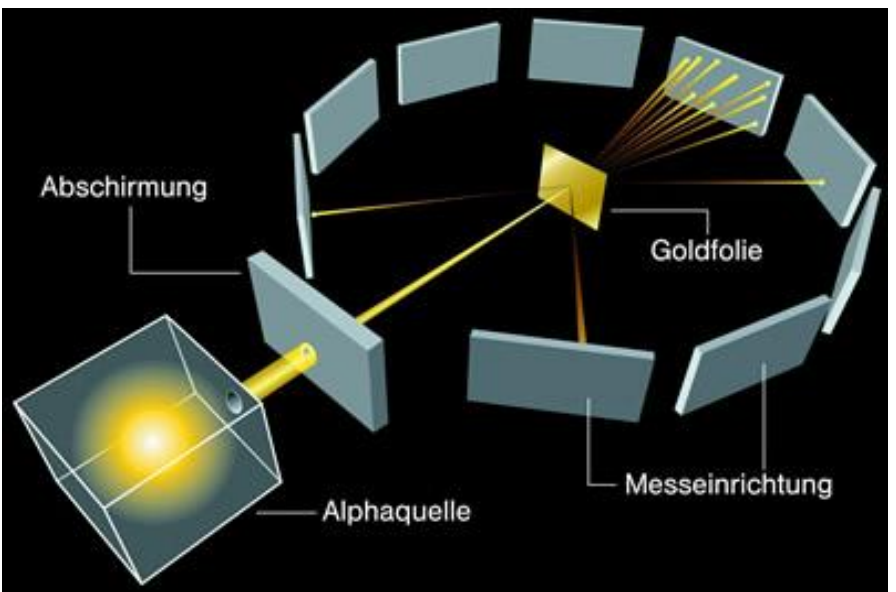


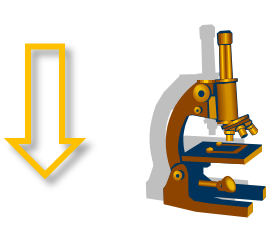
Streuexperimente zur Strukturanalyse



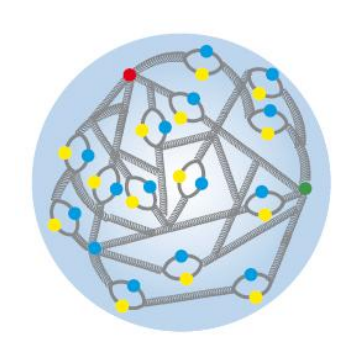




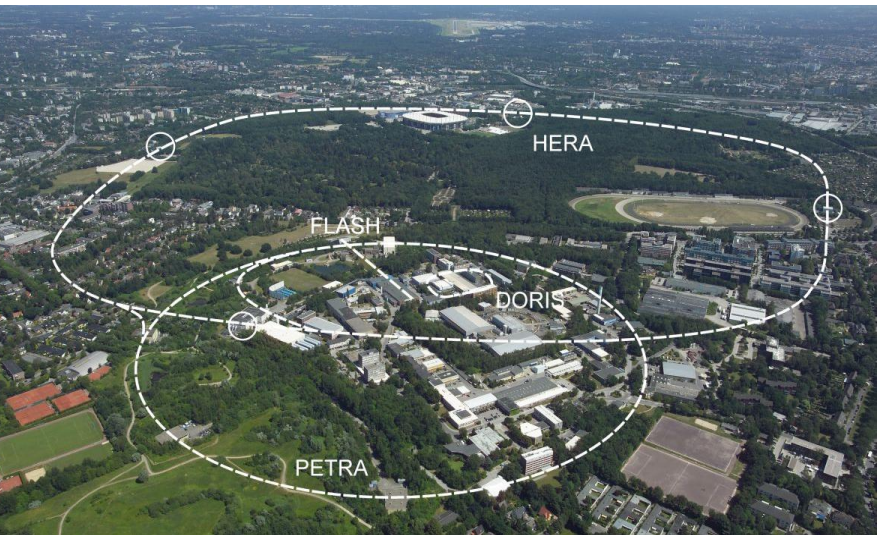


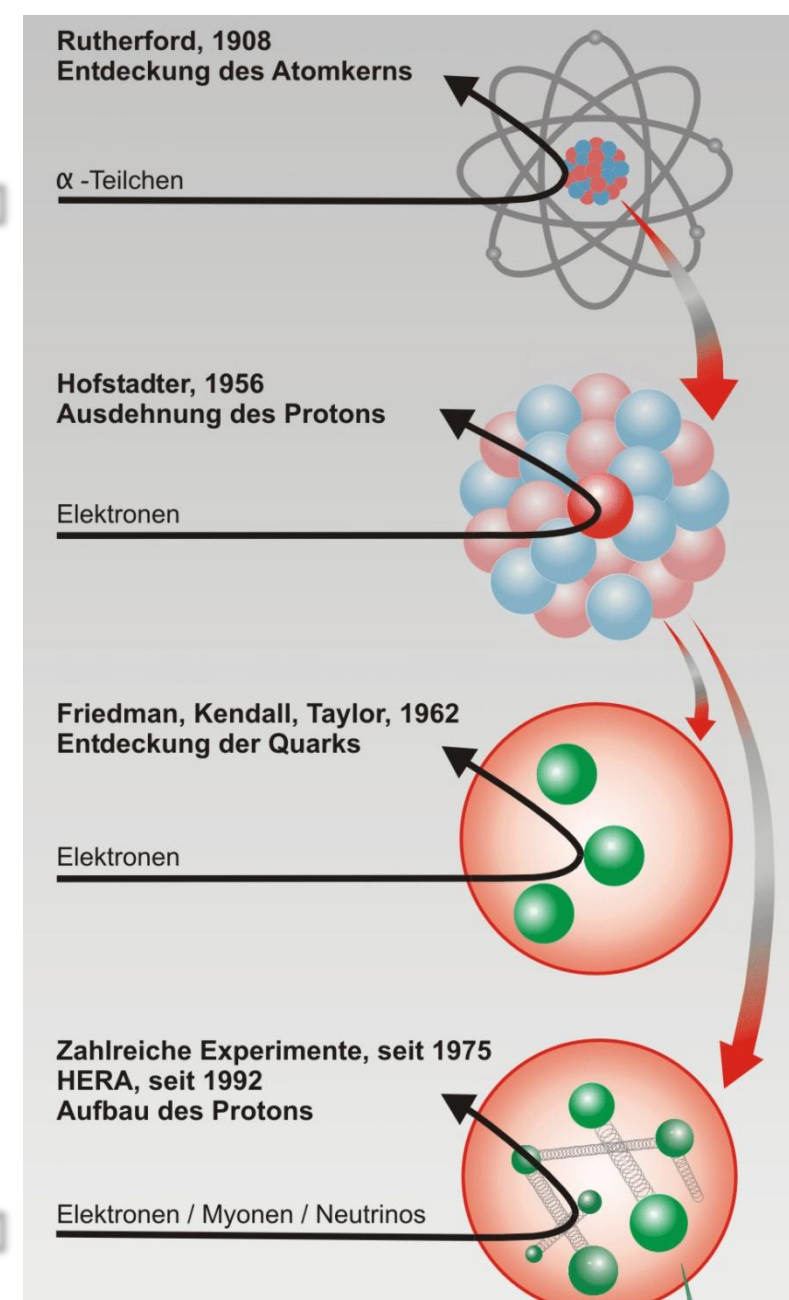


p-Energie: 800 GeV e-Energie: 30 GeV











Kernphysik – Historie



1896: Henri Becquerel entdeckt Radioaktivität von Uransalzen

1898: Marie & Pierre Curie entdecken Polonium & Radium (neue Elemente)

1907: Ernest Rutherford klassifiziert α , β , γ – Strahlung (α = ⁴He-Kern)

1911: Rutherford, Geiger & Marsden entdecken den Atomkern

1913: Bohr'sches Atommodell

1919: erste künstliche Kernumwandlung durch Rutherford

1930: E.O. Lawrence entwickelt die Idee für ein Zyklotron

1932: E. Fermi's Theorie des Kern-ß-Zerfalls

1935: H. Yukawa postuliert Theorie der starken Wechselwirkung (Pion)

Bethe-Weizsäcker sche Massenformel & Tröpfchenmodell



Henri Becquerel 1852-1908 Nobelpreis 1903

G. Drexlin - VL01

Marie Curie (1867-1934) Pierre Curie (1859-1906) Nobelpreis 1903

Kernphysik – Historie

19



1938: Hans Bethe postuliert CNO Kernfusionsreaktionen für stellare Energie

1939: O. Hahn, F. Straßmann & L. Meitner entdecken Kernspaltung

1946: F. Bloch & E. Purcell verfeinern MRI (NMR) Technik

1949: Aufstellung des Schalenmodells der Kerne (M. Goeppert-Mayer)

1957: Geburt der nuklearen Astrophysik (B²FH-Artikel zur Nukleosynthese)

1967: J. Bell & A. Hewish entdecken Pulsare (Neutronensterne)

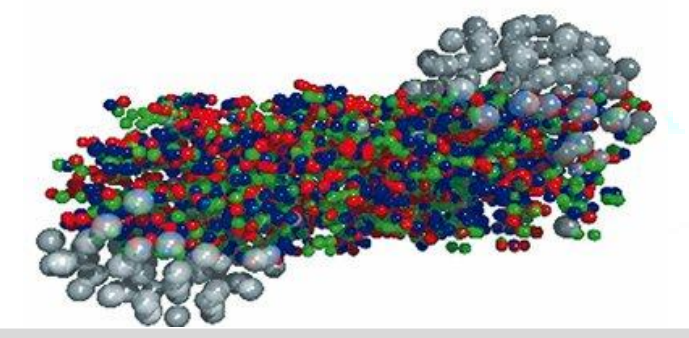
1969: Gründung der GSI (Gesellschaft für Schwerionenforschung, Darmstadt)

1984: CEBAF Beschleuniger (6 GeV Elektronen für Kernphysik)

1986: erste Beobachtung eines Doppelbeta-Zerfalls 2vßß (seltenster Zerfall)

2006: Erzeugung des bisher schwersten Elements Z = 118

2010: ALICE Detektor am LHC sucht nach dem Quark-Gluon Plasma



Teilchenphysik – Historie



- **1897**: J. J. Thomson entdeckt das Elektron (Kathodenstrahlen)
- 1911: V. Hess entdeckt die kosmische Strahlung
- 1928: P.A.M. Dirac postuliert die Antimaterie
- 1930: C. Anderson entdeckt das Positron, W. Pauli postuliert das Neutrino
- 1932: J. Chadwick entdeckt das Neutron

20

- 1936: Entdeckung des Myons in der kosm. Strahlung (Anderson, Neddermeyer)
- 1947: C. Powell entdeckt das Pion (kosm. Strahlung) mit Emulsionen
- 1955: Entdeckung des Antiprotons durch E. Segre & O. Chamberlain
- 1956: erster Nachweis des Neutrinos durch F. Reines & C. Cowan
- 1957: Verletzung der Paritätserhaltung (schwache Ww.): Wu, Lee und Yang
- 1962: Entdeckung des 2. Neutrino (v_u) : Lederman, Schwartz, Steinberger
- 1964: Nachweis der CP-Verletzung bei Kaon-Oszillationen (Cronin, Fitch)

Higgs-Mechanismus für spontane Symmetriebrechung (P. Higgs)

Teilchenphysik – Historie



- 1964: M. Gell-Mann & G. Zweig postulieren die Existenz von Quarks
- 1967: Theorie der elektroschwachen Vereinheitlichung: S. Weinberg, A. Salam
- 1973: erster Nachweis neutraler schwacher Ströme (Gargamelle)
- 1974: B. Richter (SLAC) und S. Ting (BNL) entdecken das J/Ψ (Charmonium)
 M. Perl entdeckt das Tauon (SLAC)
- 1977: erster Nachweis des Upsilon Y durch L. Ledermann (Bottomonium)
- 1979: am Speicherring PETRA: Nachweis der Gluonen durch 3-Jet-events
- 1983: erster Nachweis der intermediären Vektorbosonen W±, Zº am CERN
- 1987: SN1987a: erster Nachweis von Supernova-Neutrinos
- **1989:** Beschränkung der Teilchengenerationen auf N = 3 (Z^0 -Breite)
- 1995: erster Nachweis des Top-Quarks am Fermilab
- 1998: Beobachtung von Neutrino-Oszillationen (Super-Kamiokande)
- **2001:** SNO löst das solare Neutrino-Problem

21

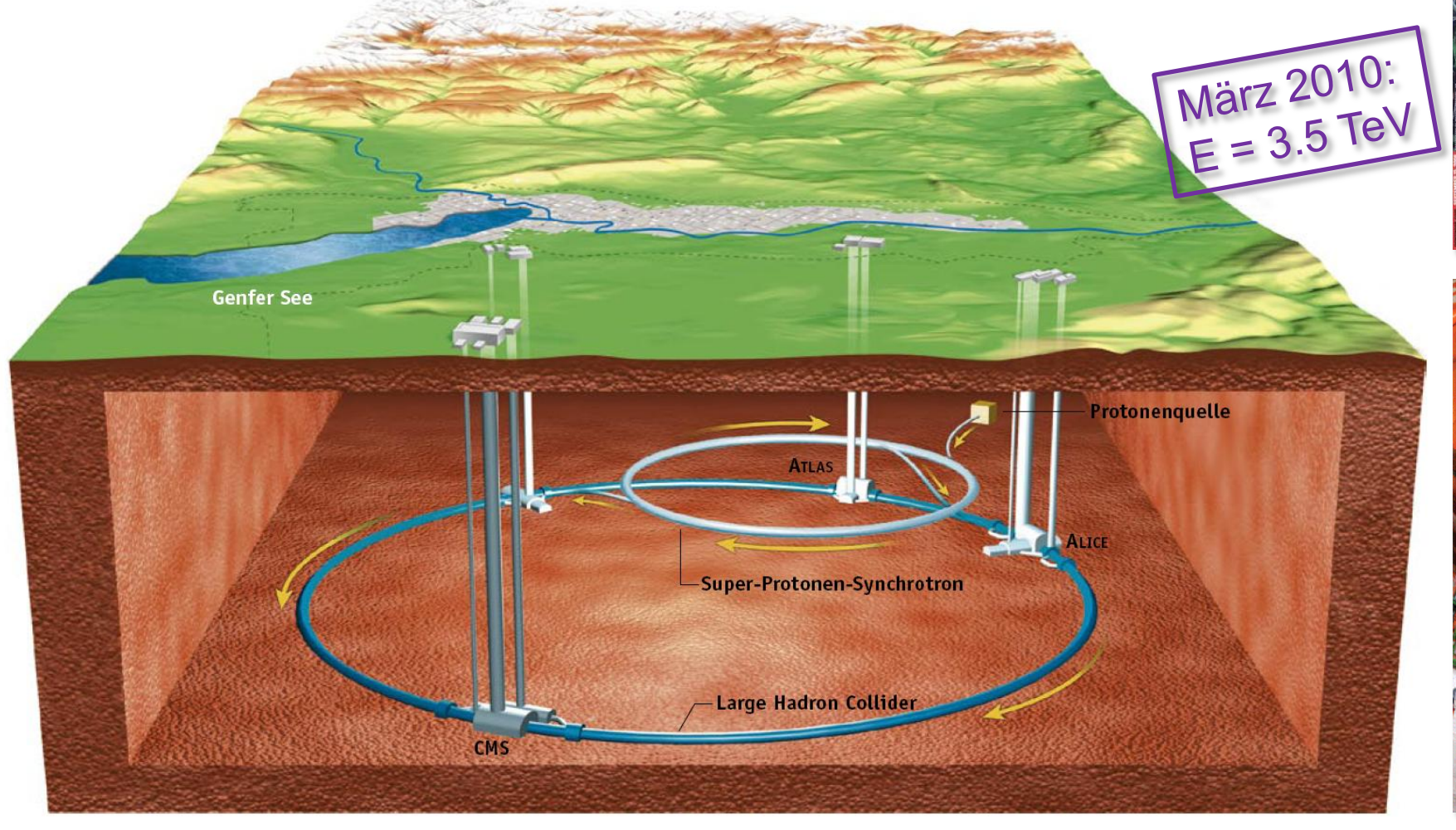
2009: LHC wird (wieder) in Betrieb genommen

Teilchenphysik – Zukunft



LHC - Large Hadron Collider am CERN (Genf)

p-p Kollisionen bei \sqrt{s} = 14 TeV Schwerpunktsenergie Zielsetzung: Nachweis Higgs-Boson & Supersymmetrie







Einheiten: Energie & Impuls



Energie E

Einheit: Elektronvolt (eV)

E = 1 eV entspricht Elektron-Energie

nach Durchlaufen von $\Delta U = 1 V$

 $1 \text{ eV} = 1.602 \cdot 10^{-19} \text{ J}$

Messung: elektromagnetische/hadronische Kalorimeter

 $1 \text{ keV} = 10^3 \text{ eV}$ $1 \text{ MeV} = 10^6 \text{ eV}$ $1 \text{ GeV} = 10^9 \text{ eV}$ $1 \text{ TeV} = 10^{12} \text{ eV}$

Impuls p

Einheit: Elektronvolt/c (eV/c)

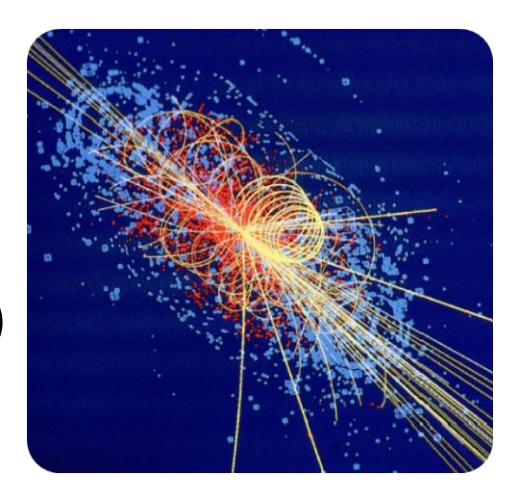
relativistische Energie-Impuls Beziehung: $E^2 = p^2c^2 + m^2c^4$

 $1 \text{ eV/c} = 0.535 \cdot 10^{-27} \text{ kg m/s}$

vektorielle Größe $\overrightarrow{p} = (p_x, p_y, p_z) = (p_r, p_\theta, p_\phi)$

Messung: Krümmung der Teilchenbahn in B-Feld (Rigidität)

Longitudinal/Transversal-Impuls



Einheiten



in der Kern- & Teilchenphysik werden spezielle Einheiten verwendet, die eng mit den methodischen Grundlagen der Gebiete verknüpft sind

| Größe | Kern- / Teilchenphysik | SI - Einheit |
|-------------------|--|--|
| Länge | 1 fm (1 Fermi) | 10 ⁻¹⁵ m |
| Energie | $1 \text{ GeV} = 10^9 \text{ eV}$ | $1,602 \times 10^{-10} J$ |
| Masse = E/c^2 | 1 GeV/c ² | $1,78 \times 10^{-27} \text{ kg}$ |
| $\hbar = h/2 \pi$ | $6,588 \times 10^{-25} \text{ GeV s}$ | $1,055 \times 10^{-34} \text{ J s}$ |
| С | $2,998 \times 10^{23} \text{ fm s}^{-1}$ | $2,998 \times 10^{8} \text{ m s}^{-1}$ |
| ћ∙с | 0,1975 GeV fm | $3,162 \times 10^{-26} \text{ J m}$ |

| natürliche Einheiten ħ = c = 1 | | | |
|--------------------------------|--|--|--|
| Masse | 1 GeV | | |
| Länge | $1 \text{ GeV}^{-1} = 0.1975 \text{ fm}$ | | |
| Zeit | $1 \text{ GeV}^{-1} = 6.59 \cdot 10^{-25} \text{ s}$ | | |

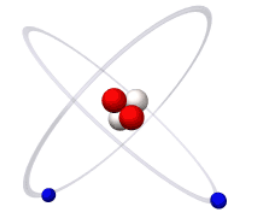
Heaviside-Lorentz Einheiten

$$\epsilon_0 = \mu_0 = \hbar = c = 1$$
 Feinstruktur $\alpha = e^2 / 4\pi$ 1/137.06

Atomphysik & Kernphysik









 α : Feinstrukturkonstante = 1/137

m_e: Elektronmasse = 0.511 MeV

 α_s : starke Kopplungskonstante = 0.2 m_N : Nukleonmasse = 939 MeV

$$r_{Atom} \sim 10^{-10} \text{ m}$$

$$\frac{r_{Kem}}{r_{Atom}} \sim \frac{\alpha}{\alpha_{s}} \cdot \frac{m_{e}}{m_{N}} \sim 3 \cdot 10^{-5}$$

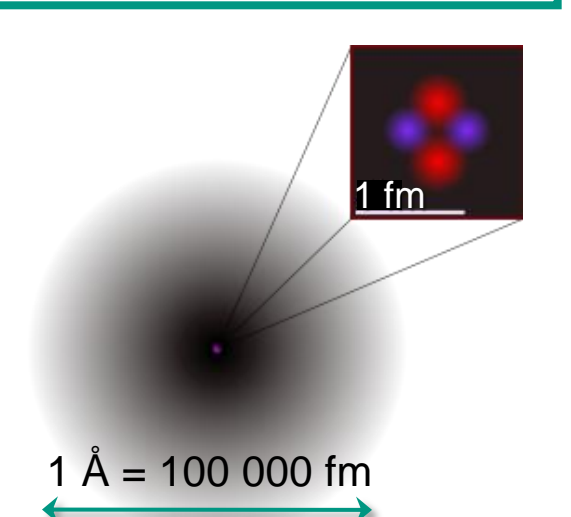
$$r_{Kern} = (2-8) \cdot 10^{-15} \text{ m}$$

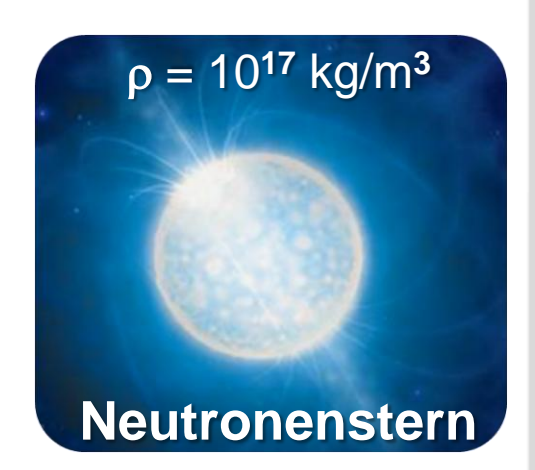
$$\rho_{Atom} \sim 10^3 \text{ kg/m}^3$$

$$\frac{\rho_{Kem}}{\rho_{Atom}} \sim \frac{\alpha_s^3}{\alpha} \cdot \frac{m_N^3}{m_e} \sim 10^{14}$$

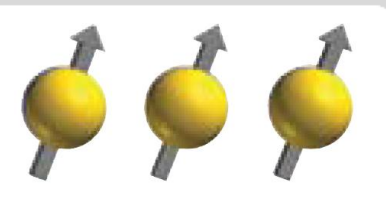
$$\rho_{Kern} \sim 10^{17} \text{ kg/m}^3$$







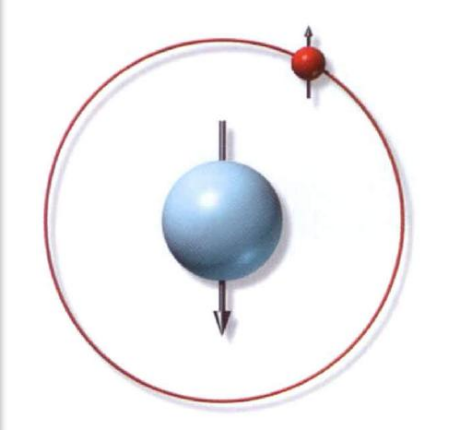
Spineigenschaften

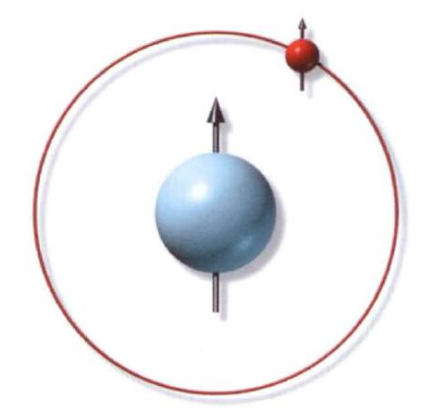


interne Spineigenschaften: wesentliche Rolle bei subatomaren Effekten Kerne – Schalenstruktur (uu, gg), Teilchen – Masse, Lebensdauer (p, n, Δ +)

$$S = 0$$

$$S = 1$$

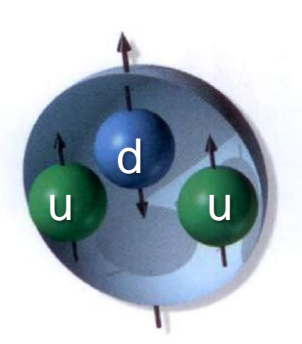


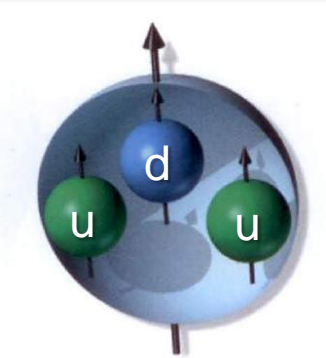


H-Atom

Atomphysik - Hyperfeinstruktur

Kopplung von Hülle J und Kern I $\Delta E = 5.9 \times 10^{-6} \text{ eV}$ relativ zur Masse $M = 939 \times 10^6 \text{ eV (bei H-Atom)}$





Baryon

Kernphysik - Baryonenstruktur

$$S = \frac{1}{2}$$

 $S = \frac{1}{2}$ **Proton**

m = 938.27 MeV

$$\tau > 1 \times 10^{31} a$$

$$S = 1/2$$

$$S = 3/2$$

$$S = 3/2$$
 Δ + Resonanz

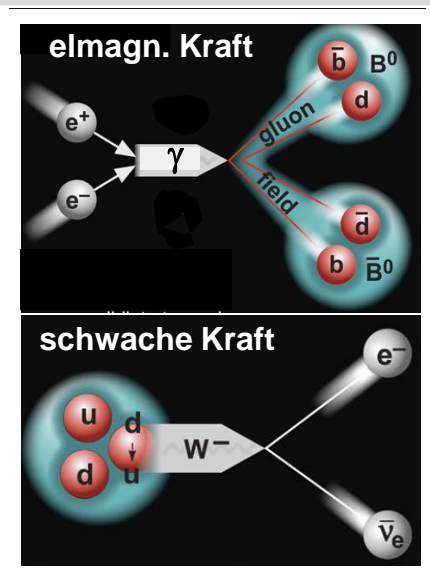
$$\tau = (5.58 \pm 0.09)$$

$$\times 10^{-24} \, \text{s}$$

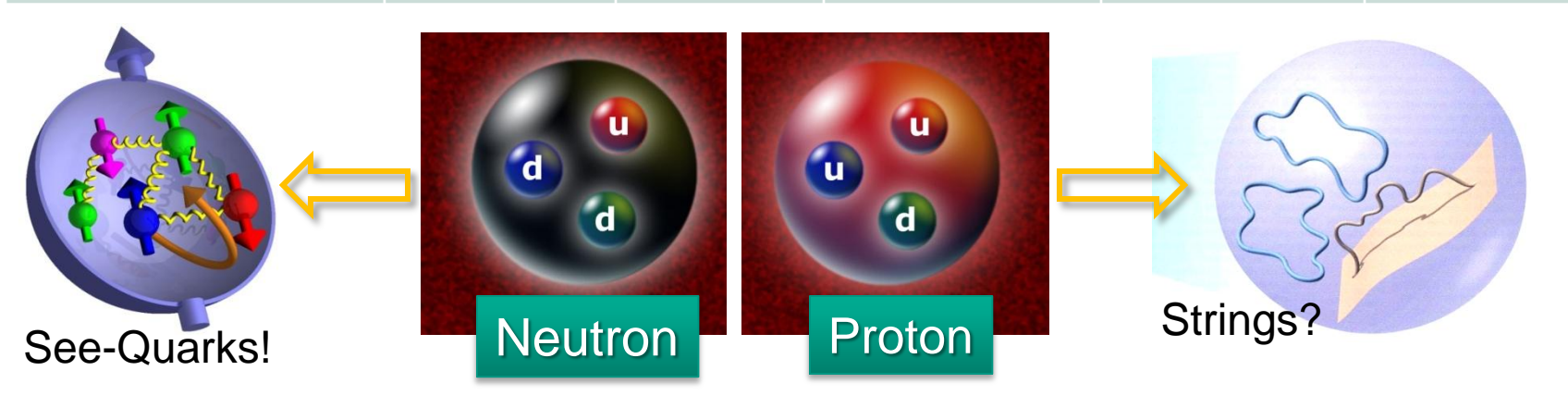
Standardmodell

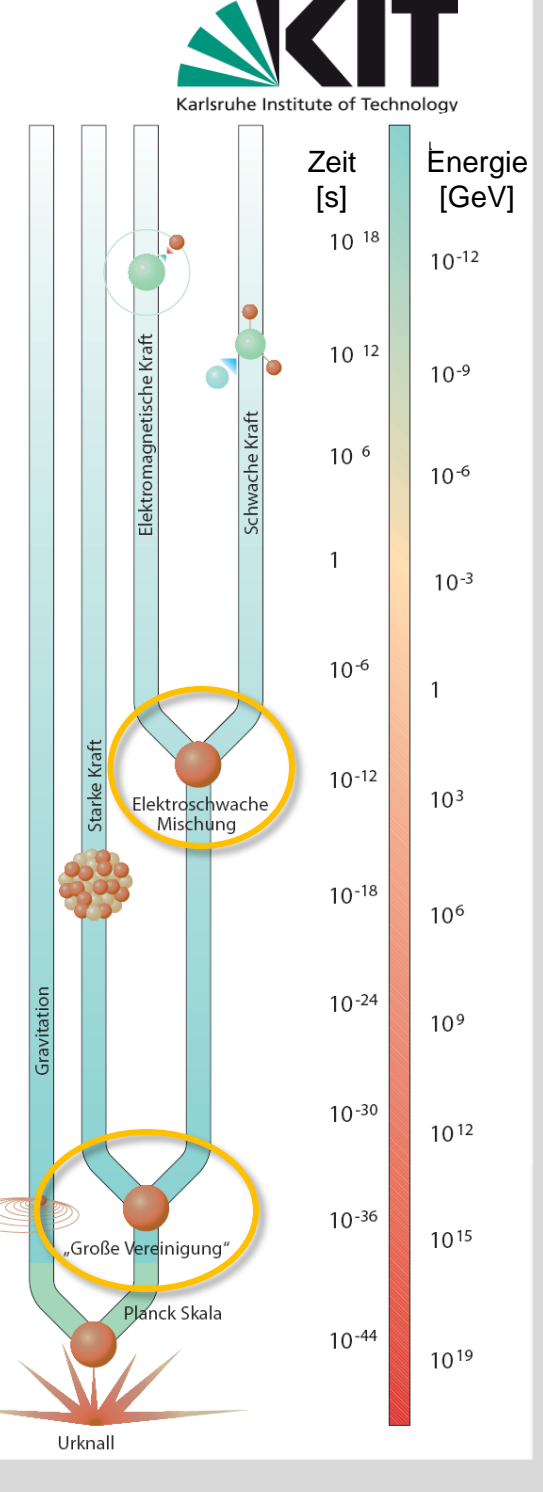
Standardmodell der Teilchenphysik

- = 3 Teilchenfamilien (Leptonen & Hadronen)
- + 3 Kräfte als Quantenfeldtheorie, Gravitation
- + Massenerzeugung (Higgsmechanismus)



| Wechsel- wirkung | Boson | Masse [GeV] | rel. Stärke [3 × 10 ⁻¹⁷ m] | Reichweite [m] | Potenzial |
|---------------------|-------------------|----------------|--|--------------------------|--------------|
| stark | Gluonen | 0 | 60 | 2.5-10 ⁻¹⁵ | αr-1 + βr |
| elektromagnet. | Photon | 0 | 1 | ∞ | 1/r |
| schwach | W+ W ⁻ | 80.4 91.2 | 10-4 | 10 ⁻¹⁸ | δ (r) |





13.4.2010 G. Drexlin - VL01

Teilchenphysik am KIT





Besichtigung am 14.7.

KATRIN CMS Das Geheimnis der CDF **AUGER**

Kascade-

Grande



Lopes

Was gibt Teilchen Gewicht und dem Universum Substanz?

Edelweiss

Super-Belle

GridKa

AMS-02

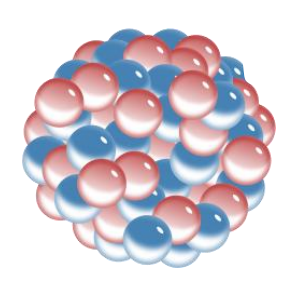


2. Eigenschaften stabiler Kerne



Radius & Form

- Größe: Kernradius ($R = 1.2 \text{ fm} \cdot A^{1/3}$)
- Form: sphärisch / Deformation (prolat/oblat)



Dichte & Masse

- Kernmaterie mit konstanter Dichte ($\rho = 10^{17} \text{ kg/m}^3$)
- Kernmassen & Stabilitätstal



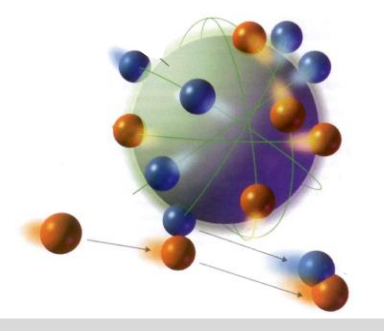
Zustände

- Quantenzahlen Spin S, Parität P, magnetisches Moment µ
- Schalenstruktur: "Leucht"-Nukleonen, kollektive Anregung



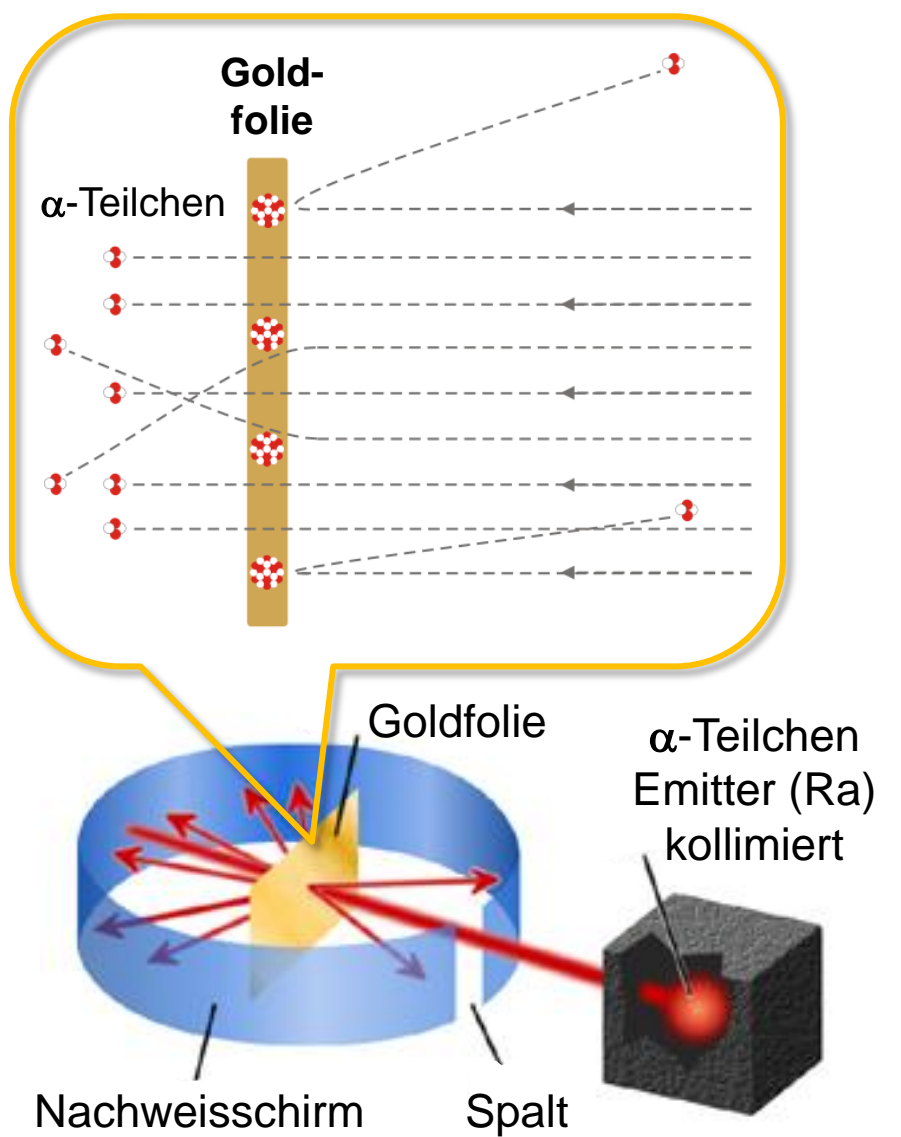
Reaktionen

- Bindungsenergien: Fusion & Spaltung, nukl. Astrophysik
- spezielle Reaktionen: Austausch/Transfer



2.1 Rutherford-Streuung & Wirkungsquerschnitt

1909: Rutherford, Geiger und Marsden untersuchen in Manchester die Streuung von α -Teilchen an sehr dünnen Goldfolien



Ziel: aus der Winkelverteilung der gestreuten α-Teilchen ∜ Rückschlüsse über Struktur des Streuzentrums (Atomkern)

Aufbau: Ra-Quelle mit $E_{kin}(\alpha) = 4.78$ MeV dünne Au-Folien (Z=79, d=2000 Atomlagen) klassischer 'fixed target' Aufbau Nachweis gestreuter α 's in ZnS-Szintillator



1908: Nobel-Preis für Chemie (α-,β-,γ-Kernzerfälle, ...)



Ernest Rutherford (1871-1937)

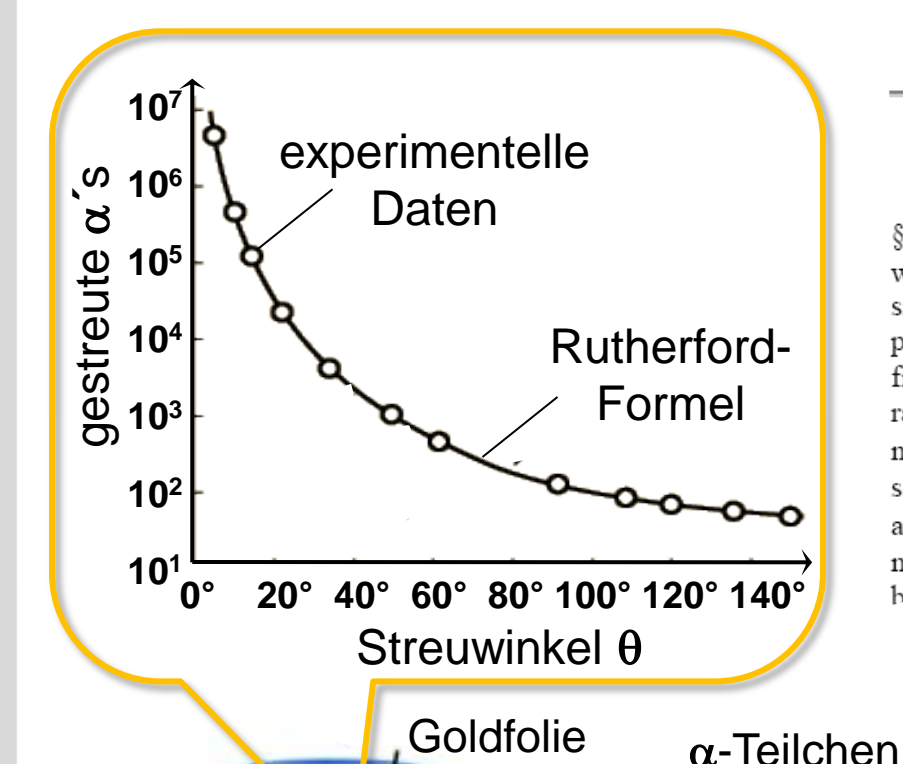
G. Drexlin – VL01

Rutherford-Streuung & Wirkungsquerschnitt

The Scattering of α and β Particles by Matter and the Structure of the Atom

E. Rutherford, F.R.S.* Philosophical Magazine Series 6, vol. 21 May 1911, p. 669-688

669



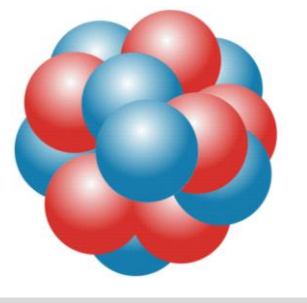
§ 1. It is well known that the α and the β particles suffer deflexions from their rectilinear paths by encounters with atoms of matter. This scattering is far more marked for the β than for the α particle on account of the much smaller momentum and energy of the former particle. There seems to be no doubt that such swiftly moving particles pass through the atoms in their path, and that the deflexions observed are due to the strong electric field traversed within the atomic system. It has generally been supposed that the scattering of a pencil of α or β rays in passing through a thin plate of matter is the result of a multitude of small scatterings by the atoms of matter traversed. The observations, however, of Geiger and Marsden** on the scattering of α rays indicate that some of the α particles, about 1 in 20,000 were turned through an average angle of 90 degrees in passing though a layer of gold-foil about 0.00004 cm. thick, which was equivalent in stopping-power of the α particle to 1.6 millimetres of air. Geiger*** showed later that the most probable angle of deflexion for a pencil of α particles being deflected through 90 degrees is vanishingly small. In addition, it will be seen later that the distribution

- deflexion does no

Beobachtung:

Rate $\sim 1 / \sin^4 (\Theta/2)$

Streuung an punktförmigem´ **Atomkern**



Emitter (Ra)

kollimiert

Spalt

31

Nachweisschirm

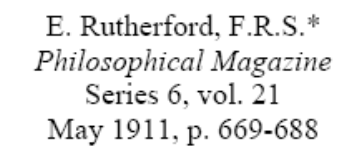
13.4.2010

G. Drexlin - VL01

KIT-IEKP

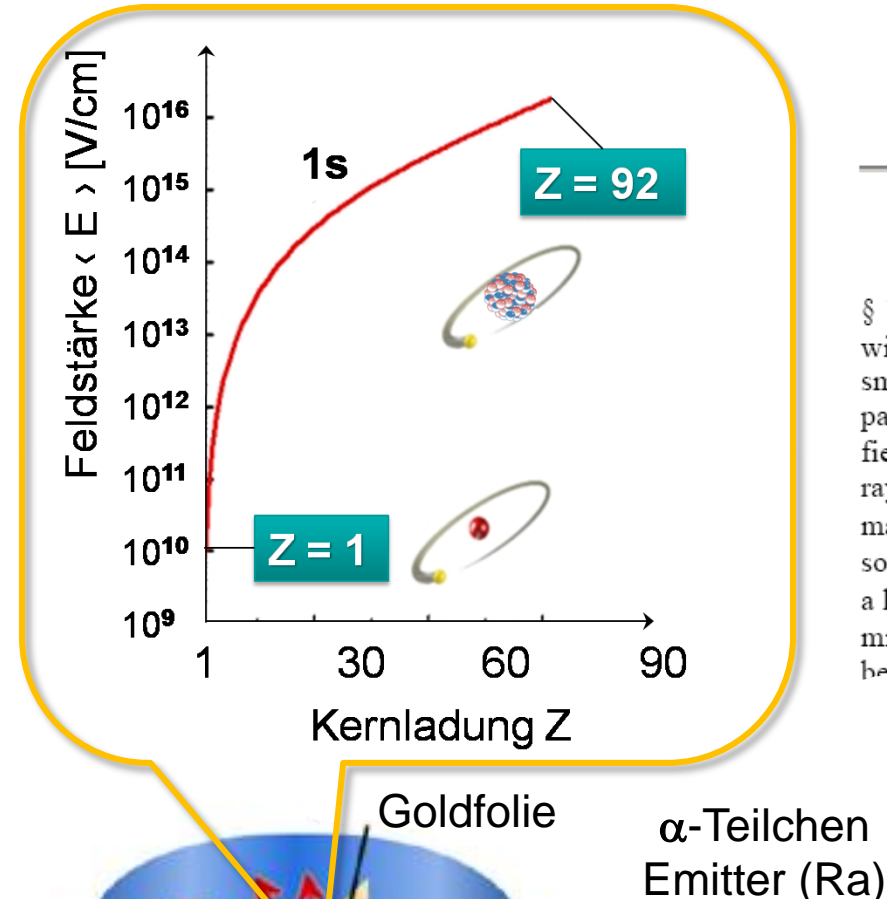
Rutherford-Streuung & Wirkungsquerschnitt





669

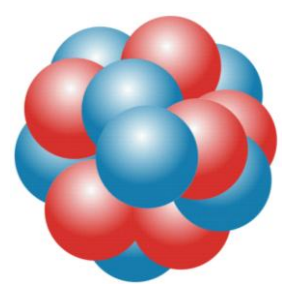
§ 1. It is well known that the α and the β particles suffer deflexions from their rectilinear paths by encounters with atoms of matter. This scattering is far more marked for the β than for the α particle on account of the much smaller momentum and energy of the former particle. There seems to be no doubt that such swiftly moving particles pass through the atoms in their path, and that the deflexions observed are due to the strong electric field traversed within the atomic system. It has generally been supposed that the scattering of a pencil of α or β rays in passing through a thin plate of matter is the result of a multitude of small scatterings by the atoms of matter traversed. The observations, however, of Geiger and Marsden** on the scattering of α rays indicate that some of the α particles, about 1 in 20,000 were turned through an average angle of 90 degrees in passing though a layer of gold-foil about 0.00004 cm. thick, which was equivalent in stopping-power of the α particle to 1.6 millimetres of air. Geiger*** showed later that the most probable angle of deflexion for a pencil of α particles being deflected through 90 degrees is vanishingly small. In addition, it will be seen later that the distribution andeflexion does no



Beobachtung:

Rate $\sim 1 / \sin^4 (\Theta/2)$

🏷 Streuung an punktförmigem´ **Atomkern**



kollimiert

G. Drexlin - VL01

Spalt

32 13.4.2010

Nachweisschirm

Rutherford-Streuung & Target



Kinematik der elastischen Streuung von α -Teilchen:

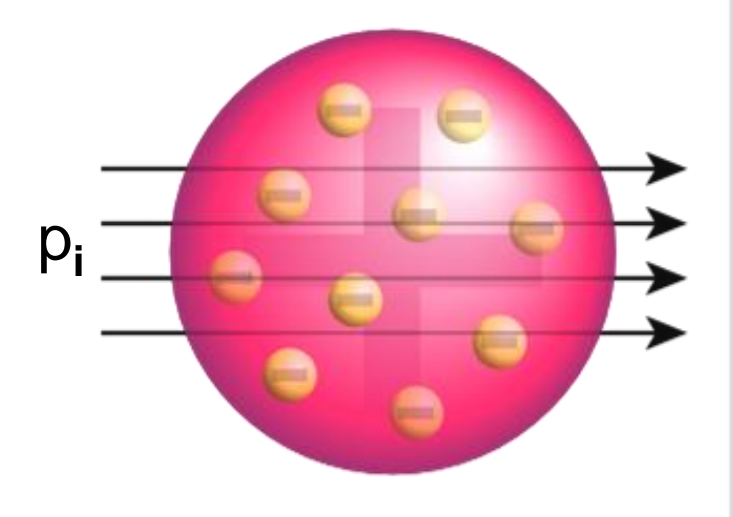
☼ Energie- und Impulserhaltung (keine innere Anregung)

α-Streuung an Elektronen

(Thomson-Atommodell)

$$\frac{m_{\rm e}}{m_{\alpha}}\approx 10^{-4}$$

maximaler Impulstransfer $\Delta p \sim 10^{-4} p_i$ nur sehr kleine Streuwinkel $\Theta \sim 0^{\circ}$

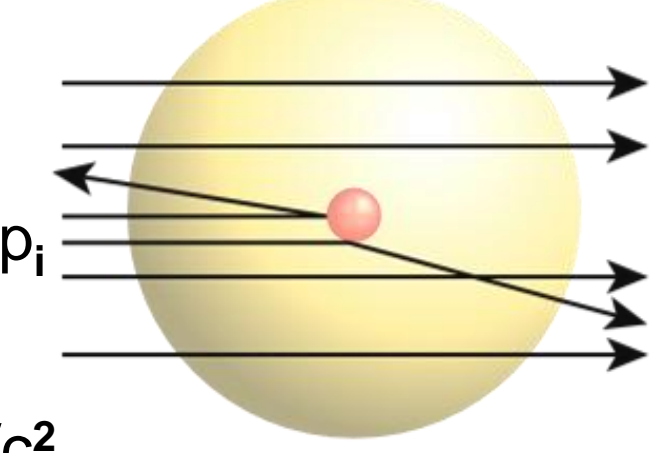


α-Streuung an Au-Kernen

(Rutherford-Atommodell)

$$\frac{m_{Au-197}}{m_{\alpha}} \approx 50$$

maximaler Impulstransfer $\Delta p \sim 2 \cdot p_i$ auch große Streuwinkel bis $\Theta_{max} \sim 180^\circ$ (Rückstreuung des α -Teilchens)



$$m_{\alpha} = 4 \text{ GeV/c}^2$$
, $m_{e} = 0.511 \text{ MeV/c}^2$, $m_{Au-197} = 197 \text{ GeV/c}^2$

Rutherford-Streuung: Kinematik

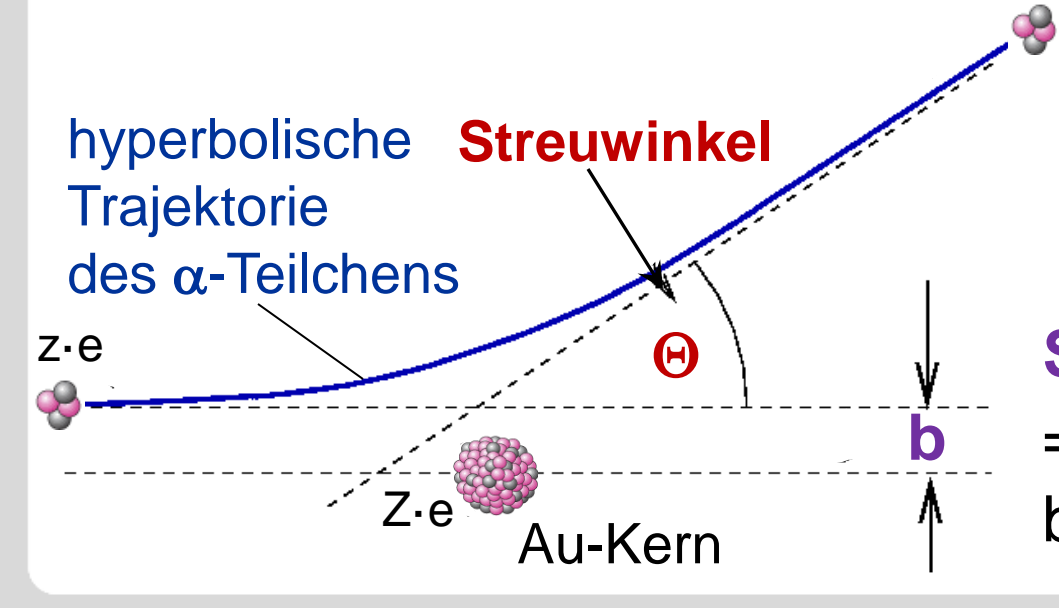


Annahmen bei der Rutherford-Streuung:

- punktförmiges Target & Projektil, beide ohne Spin (S=0)
- dünnes Target: nur Einfachstreuung
- kein Kernrückstoß (Au-197 ist ortsfest)
- abstoßende Coulombkraft (Z des Kerns) = rein elektromagnetische Wechselwirkung (keine Kernkräfte)

$$V(r) \sim \frac{z \cdot Z \cdot e^2}{r}$$

Coulombpotenzial



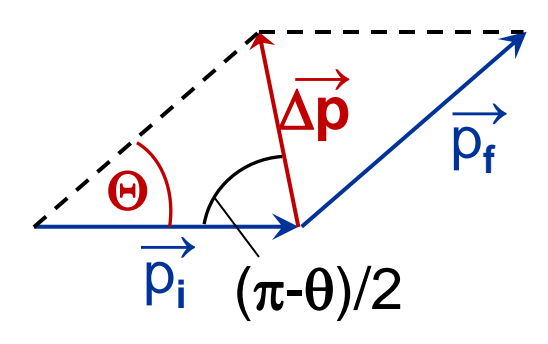
sphärische Koordinaten mit Au-197 Kern als statischem Zentrum (r = 0)

Stoßparameter (Impaktparameter) b [∞,0] = asymptotischer Abstand (⊥) des α's b = 0 zentraler Stoß, b ≠ 0 nichtzentraler Stoß

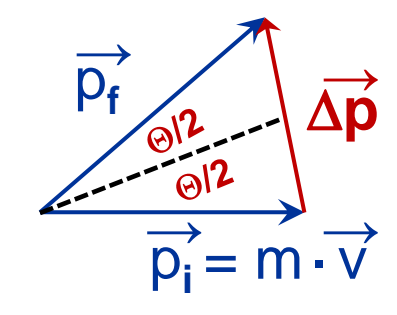
Rutherford-Streuung: Impulse

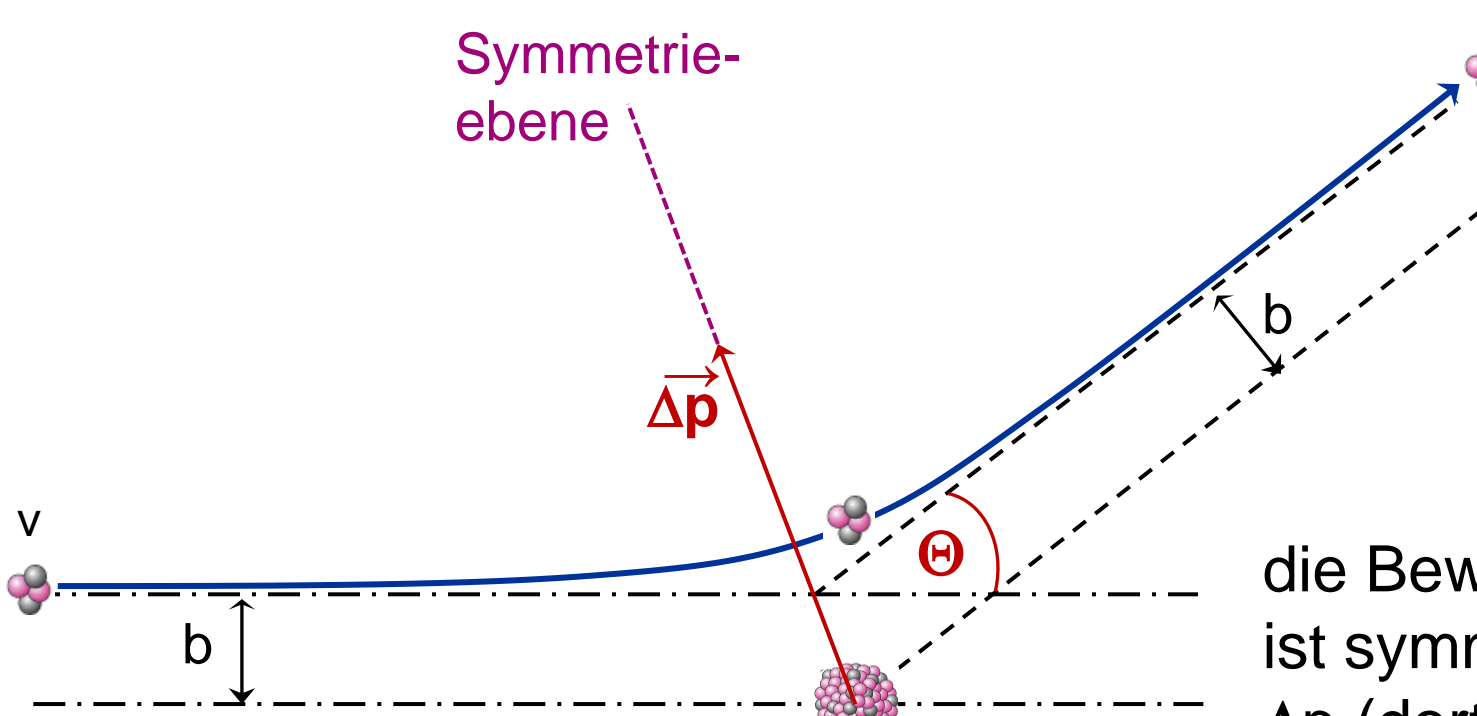


das α -Teilchen erfährt eine **Impulsänderung** $\overrightarrow{\Delta p} = \overrightarrow{p_f} - \overrightarrow{p_i}$



$$\Delta p = 2 \cdot m \cdot v \cdot \sin \frac{\theta}{2}$$





die Bewegung des α -Teilchens ist symmetrisch zur Ebene durch Δp (dort auch kürzestes $r = r_0$)

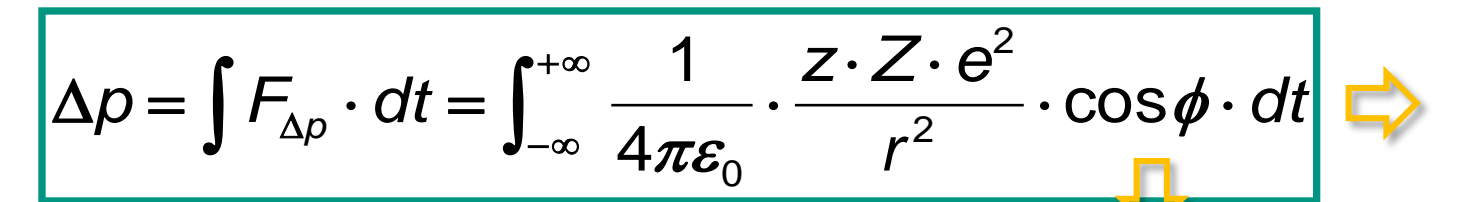
KIT-IEKP

Rutherford-Streuung: Kraftstoß

36

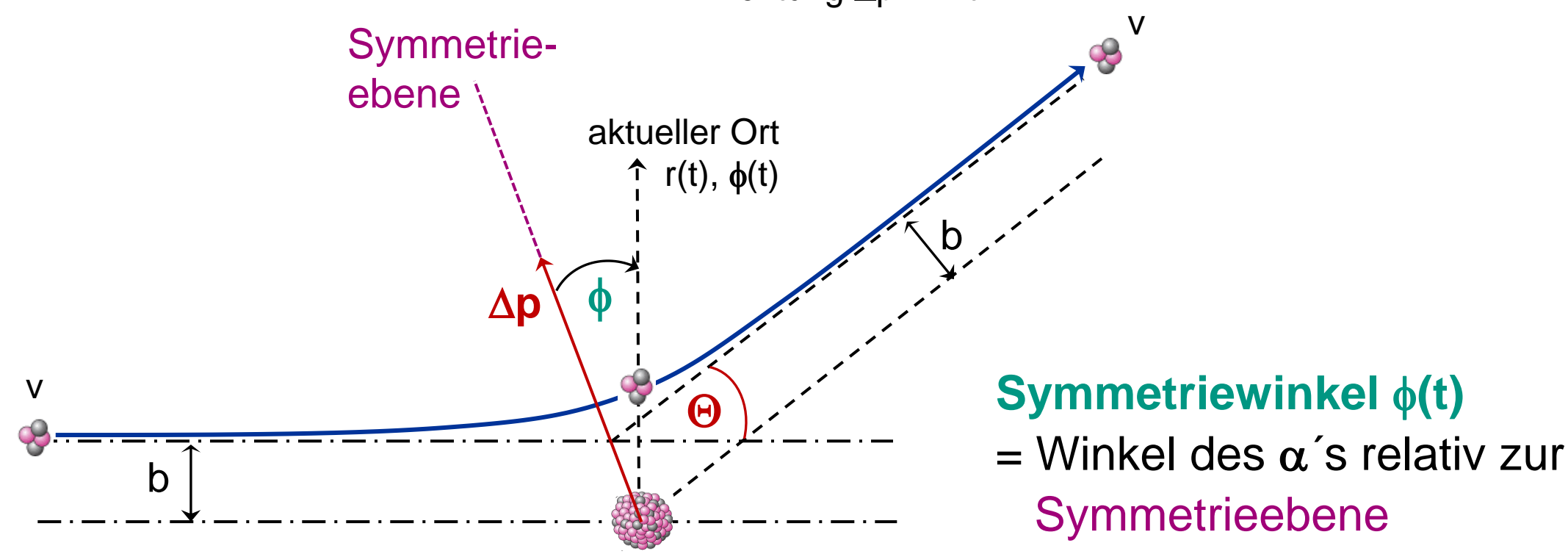


das α -Teilchen erfährt eine **Impulsänderung** $\Delta \vec{p} = \vec{p_f} - \vec{p_i}$ durch einen **Kraftstoß** \int Fdt des Coulombfelds F



nur die Komponente in Richtung Δp wirkt

∫dt ist unpraktisch dt aus weiterer kinematischer Größe: Drehimpuls L



Rutherford-Streuung: Drehimpuls



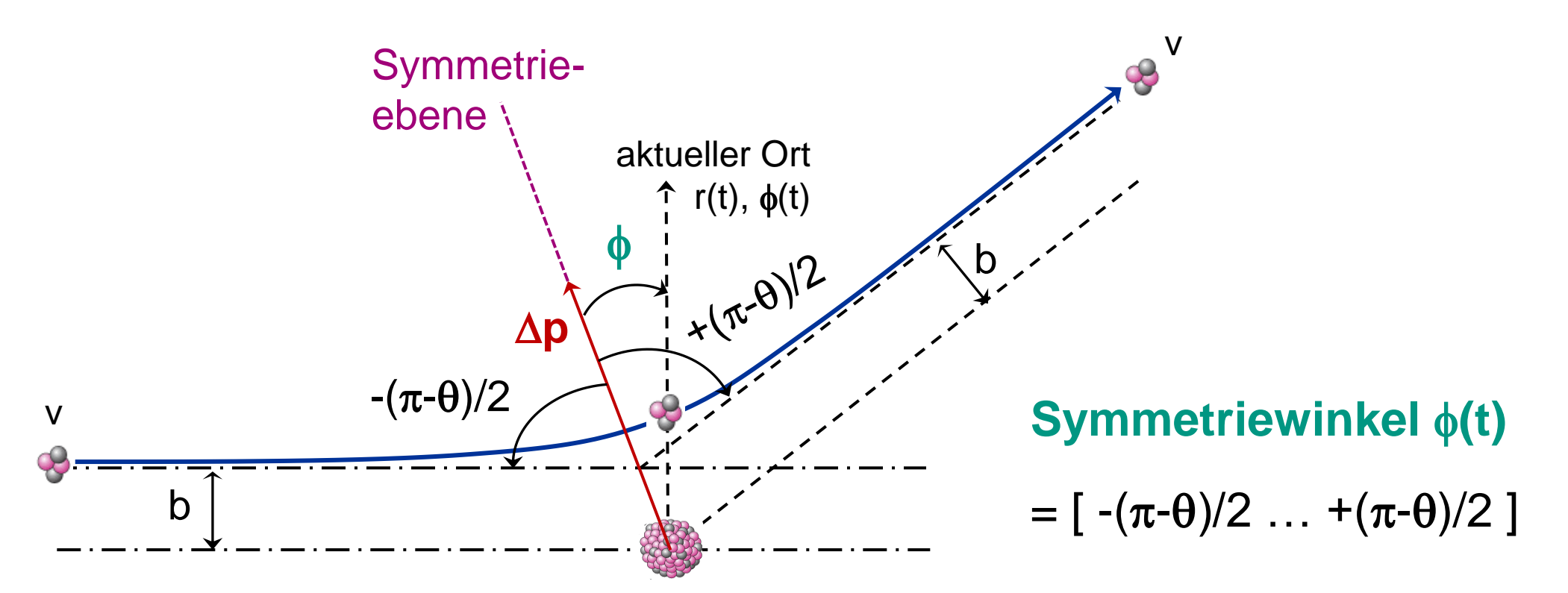
Bewegung im konservativen Coulombfeld des Kerns:

Drehimpuls *L* des α-Teilchens ist eine kinematische Erhaltungsgröße

$$\vec{L} = |\vec{r} \times m \cdot \vec{v}| = m \cdot v \cdot b = m \cdot \frac{d\phi}{dt} \cdot r^2$$

$$dt = \frac{r^2}{v \cdot b} \cdot d\phi$$

damit Integration über dø statt dt



Rutherford-Streuung: Relation b - θ



$$\Delta p = \int F_{\Delta p} \cdot dt = \int_{-\infty}^{+\infty} \frac{1}{4\pi\varepsilon_0} \cdot \frac{z \cdot Z \cdot e^2}{r^2} \cdot \cos\phi \cdot dt \qquad \Box \qquad dt = \frac{r^2}{v \cdot b} \cdot d\phi$$

$$dt = \frac{r^2}{v \cdot b} \cdot d\phi$$

$$\Delta p = \int_{-(\pi - \theta)/2}^{(\pi - \theta)/2} \frac{1}{4\pi\varepsilon_0} \cdot \frac{z \cdot Z \cdot e^2}{v \cdot b} \cdot \cos\phi \cdot d\phi = \frac{1}{4\pi\varepsilon_0} \cdot \frac{z \cdot Z \cdot e^2}{v \cdot b} \cdot 2 \cdot \cos(\frac{\theta}{2})$$

damit ergibt sich mit

$$\Delta p = 2 \cdot m \cdot v \cdot \sin \frac{\theta}{2}$$

$$\tan(\frac{\theta}{2}) = \frac{1}{4\pi\varepsilon_0} \cdot \frac{z \cdot Z}{v^2} \cdot \frac{1}{b}$$

Relation zwischen Streuwinkel q und Streuparameter b

kleiner Stoßparameter: $b \rightarrow 0 \Rightarrow \theta \rightarrow \pi$

großer Stoßparameter: $b \rightarrow \infty \Rightarrow \theta \rightarrow 0$

